



تحلیل ارتعاشات غیرخطی الکتروآیروالاستیکی یک عملگر لایه‌ای نانوکامپوزیت

مرضیه نوروزی، فیروز بختیاری نژاد*

دانشکده مهندسی مکانیک، دانشگاه صنعتی امیرکبیر، تهران، ایران

تاریخچه داوری:

۱۳۹۸/۰۸/۱۲ دریافت:

۱۳۹۸/۱۰/۰۸ بازنگری:

۱۳۹۹/۰۲/۱۴ پذیرش:

۱۳۹۹/۰۲/۱۸ ارائه آنلاین:

كلمات کلیدی:

عملگر ذوزنقه‌ای

تحریک همزمان خارجی و پارامتریک

تشدید داخلی

جریان مادون صوت

روش مقیاس‌های چندگانه

خلاصه: دینامیک غیرخطی و رفتارهای ارتعاشی یک صفحه‌ی ذوزنقه‌ای یکسرگیردار، با یک لایه‌ی نانوکامپوزیت و دو لایه پیزوالکتریک، در این مقاله مورد بررسی قرار گرفته است. این صفحه که به عنوان یک عملگر در ریزپرندۀ‌ها مورد استفاده قرار می‌گیرد، در معرض جریان مادون صوت بوده که با کمک نظریه جریان پتانسیل خطی مدل گردیده و تحت تحریک‌های الکتریکی و نیروی خارجی قرار دارد. لایه میانی صفحه توسط نانولوله‌های کربنی که به صورت یکنواختی در سرتاسر ضخامت صفحه توزیع شده‌اند، تقویت شده است. معادلات غیرخطی صفحه با فرض جابجایی‌های بزرگ ون کارمن و با کمک اصل همیلتون استخراج شده و طی نگاشتی، هندسه‌ی صفحه ذوزنقه‌ای از حوزه فیزیکی به حوزه محاسباتی مستطیلی انتقال می‌باید. همچنین با استفاده از روش گلرکین معادلات دیفرانسیل با دو درجه آزادی و جزء‌های غیرخطی مرتبه سه استخراج می‌شود. معادلات با بکارگیری روش مقیاس‌های چندگانه و در حالت تشدید همزمان اولیه و داخلی ۱:۳ حل گردیدند. در ادامه منحنی‌های پاسخ فرکانسی و زمانی بدست آورده شد و اثرات پارامترهای مختلف مانند فشار آبرو دینامیک، دامنه‌ی بارهای عرضی و ولتاژ الکتریکی بر ارتعاشات غیرخطی صفحه نازک مورد بررسی قرار گرفت. با توجه به نتایج بدست‌آمده در منحنی پاسخ فرکانسی، رفتار نرم‌شوندگی غیرخطی پیچیده‌ای با دو قله در مد بالاتر مشاهده می‌شود.

۱- مقدمه

پیزوالکتریک، در دهه گذشته تیرها، صفحات و پوسته‌های لایه‌ای نانوکامپوزیت، در کارایی بالا در ساخت سازه‌هایی با ابعاد کوچک مخصوصاً در کاربردهای هوایی بکار گرفته شدند. این سازه‌ها می‌توانند متتحمل خیزهای بزرگی شوند که منجر به ارتعاشات غیرخطی می‌شود. بنابراین به دلیل حضور برهمنش‌های مودال در سیستم‌های دینامیک غیرخطی انواع مختلفی از تشدیدهای داخلی در این سیستم‌ها بوجود می‌آید که سبب انواعی از رفتارهای ارتعاشی غیرخطی می‌شود. یکی از دلایل بوجود آمدن تشدیدهای داخلی تبادل انرژی بین مدهای مختلف می‌باشد. زمانیکه نسبت یا رابطه‌ی خاصی بین دو فرکانس طبیعی خطی بوجود می‌آید، پاسخ‌های غیرخطی با دامنه‌ی بالا اتفاق می‌افتد که سبب خسارت‌های جدی در این سازه‌های نانوکامپوزیتی چند لایه می‌شود. بنابراین مطالعات

پدیدارشدن تکنولوژی‌های نوظهور مانند ریزپرندۀ‌ها و ریزربات‌ها نیازمند عملگرهاست با وزن کم و فرکانس تشدید بالا بوده که از موادی با کارایی بالا ساخته شده باشند. نانولوله‌های کربنی، لوله‌هایی در مقیاس مولکولی از جنس کربن گرافیت هستند که دارای خواص مکانیکی قابل توجهی مانند نسبت وزن به سختی بالا می‌باشند. اضافه کردن نانولوله‌های کربنی به داخل ماده پلیمری به عنوان تقویت‌کننده به جای فیبرهای معمول، عملکرد ماده را به صورت بالقوه‌ای بالا می‌برد و فواید بسیاری در ریز سازه‌ها دارد. از مواد پیزوالکتریک به عنوان عملگرها و سنسورها در کاربردهای مهندسی استفاده می‌شود. به دلیل خواص قابل توجه فیزیکی و مکانیکی نانولوله‌های کربنی و

* نویسنده عهددار مکاتبات: baktiari@aut.ac.ir



بار یکنواخت مکانیکی ارائه کردند. نتایج بدست آمده از تحقیق گویای این واقعیت است که تنش، کرنش، پتانسیل الکتریکی و جابجایی الکتریکی در لایه‌ها مستقل از مختصات درون صفحه‌ای می‌باشد. دنادون و همکاران [۱۱] تحقیقی در زمینه اثرات تنش‌های القائی پیزوالکتریک بر فرکانس‌های طبیعی صفحات پیزوالکتریک لایه‌ای کامپوزیتی مربعی با دو تیکه‌گاه گیردار در دو ضلع رویرو انجام دادند. همچنین حساسیت فرکانس‌های طبیعی به ولتاژ‌های مختلف پیزوالکتریک مشاهده شد. لیو و همکاران [۱۲] ارتعاشات صفحات کامپوزیتی پیزوالکتریک مستطیلی با عملگر و حسگر پیزوالکتریک را با استفاده از روش مش آزاد تحلیل کردند. لیم و لاو [۱۳] رفتارهای الکترومکانیکی یک صفحه‌ی یکسرگیردار لایه‌ای ضخیم با عملگر پیزوالکتریک و لایه‌ی همسانگرد تحت بار خارجی الکتریکی با استفاده از مدل دو بعدی را مورد بررسی قرار دادند. نتایج عددی نشان داد که پاسخ خمشی عملگر با ولتاژ الکتریکی رابطه‌ی مستقیمی دارد و پتانسیل الکتریکی در راستای ضخامت به صورت خطی افزایش می‌یابد. حیدری و اسلامی [۱۴] اثرات حرارت را بر پاسخ دینامیکی یک صفحه کامپوزیتی پیزوالکتریک مطالعه کردند. پاسخ‌های استاتیکی و دینامیکی یک سازه کامپوزیتی ساخته شده از یک صفحه الاستیک باریک و یک لایه پیزوالکتریک که به طور کامل به آن متصل شده است توسط فرناندوس و پوگت [۱۵] ارائه شد. آنها اثرات موقعیت عملگر را بر پاسخ‌های محلی و جامع صفحه بررسی کردند. کوسکولوکلو و رویستون [۱۶] با کمک روش المان محدود به تحلیل ارتعاشات صفحات میندلین لایه‌ای پیزوالکتریک با در نظر گرفتن رفتار هیسترتیک پرداختند. ژانگ و همکاران [۱۷] دینامیک متناوب و آشفته یک صفحه مستطیلی لایه‌ای کامپوزیتی پیزوالکتریک با تکیه‌گاه ساده تحت بارهای الکتریکی و درون صفحه‌ای با فرض تشیدی پارامتریک و داخلی ۱:۲ را مورد بررسی قرار دادند. یاو و ژانگ [۱۸] با استفاده از روش توسعه یافته ملنیکو به بررسی دوشاخگی هموکلینیک چند پالسی در یک صفحه لایه‌ای پیزوالکتریک با تکیه‌گاه ساده پرداختند. ساویز [۱۹] با بکارگیری یک دیدگاه بهینه پاسخ گذرا ای یک صفحه کامپوزیتی لایه‌ای با لایه‌های پیزوالکتریک و غیرخطی هندسی با درجه بالا را کنترل کرد. لی و پن [۲۰] به جهت ارتقاء مدل وابسته به اندازه یک ریز صفحه پیزوالکتریک از معادلات متغیر استفاده کردند. آنها فرض کردند که خواص مواد

بر روی رفتارهای مکانیک غیرخطی این سازه‌ها در اشكال مختلف و با روش‌های تحلیلی و عددی گوناگون نقش کلیدی را در شناخت رفتارهای این سازه‌های سبک بازی می‌کنند.

مطالعات متعددی در زمینه رفتار غیرخطی دینامیکی سازه‌های کامپوزیتی تقویت شده با نانولوله‌های کربنی اختصاص داده شده است. برای مثال، تحلیل رفتار غیرخطی خمشی یک صفحه نانوکامپوزیت تقویت شده مستطیلی تحت بارهای مختلف حرارتی توسط شن [۱] ارائه شد. شوشتاری و همکاران [۲] دینامیک غیرخطی مکانیکی و حرارتی یک صفحه نانوکامپوزیت با تکیه‌گاه ساده را مورد بررسی قرار دادند. وانگ و شن [۳] ارتعاشات خمشی با دامنه بزرگ یک صفحه ساندویچی که بر روی تکیه‌گاه الاستیک قرار دارد را با کمک تکنیک اغتشاشی مورد بررسی قرار دادند. آنها نشان دادند با اضافه کردن نانولوله‌های کربنی به صفحه فرکانس خطی صفحه کاهش می‌یابد در حالیکه نسبت فرکانس غیرخطی به خطی افزایش می‌یابد. رفیعی و همکاران [۴] پایداری دینامیک غیرخطی یک صفحه پیزوالکتریک نانوکامپوزیت مستطیلی با نقص هندسی اولیه را مورد بررسی قرار دادند. پایداری غیرخطی وابسته به حرارت یک صفحه ویسکوز تقویت شده با نانولوله‌های کربنی توسط کلاهچی و همکاران [۵] بررسی شد. گو و ژانگ [۶] ارتعاشات غیرخطی و حرکات آشفته یک صفحه تقویت شده با نانولوله‌های کربنی و تکیه‌گاه ساده را تحت تحريك‌های پارامتریک و خارجی در حضور تشیدی داخلي ۱:۱، ارائه کردند.

تاكنوون تحقیقاتی در زمینه ارتعاشات صفحات لایه‌ای پیزوالکتریک کامپوزیت انجام گرفته شده است. کروم و ایسچیک [۷] ارتعاشات خمشی یک صفحه رایزنر- میندلین پیزوالکتریک کامپوزیتی را مورد مطالعه قرار دادند. آنها صفحات پیزوالکتریک را به عنوان عملگر و حسگر در نظر گرفتند. همچنین نشان دادند که جفت‌شدنگی مکانیکی، الکتریکی و حرارتی به وسیله پارامترهای سختی و بارهای حرارتی مؤثر امکان پذیر می‌باشد. تحلیل پس‌کمانش حرارتی یک عملگر پیزوالکتریک لایه‌ای تحت بارهای حرارتی و الکتریکی توسط شن [۸] انجام شد. لیم و همکاران [۹] مطالعه‌ای سه بعدی از پاسخ‌های الکترومکانیکی یک صفحه یکسرگیردار پیزوالکتریک که به عنوان حسگر و عملگر مورد استفاده قرار گرفته بود، انجام دادند. لیم و ه [۱۰] حل دقیقی از یک صفحه لایه‌ای پیزوالکتریکی تحت

شرايط مرزي کامل‌گيردار و کامل‌ساده بررسی کرده که اين قابلیت فراتر از توان روش‌های نيمه تحلیلی دیگر می‌باشد. زمانی و همکاران [۳۰]، ارتعاشات آزاد صفحات نسبتاً ضخیم چند لایه متقارن با شرایط مرزي مختلف را مورد مطالعه قرار دادند. آنها از روش درجه‌بندی دیفرانسیل عمومی برای بدست‌آوردن معادلات حرکت استفاده کردند. ملک‌زاده و زارعی [۳۱]، رفتار ارتعاشی خطی یک صفحه چند ضلعی چند لایه تشکیل شده از لایه‌های نانوکامپوزیت، با تکیه‌گاه‌های ساده، گیردار و ترکیبی از آنها را با استفاده از تئوری تغییر شکل برشی مرتبه اول و درجه بندی دیفرانسیلی مورد مطالعه قرار دادند. ترابی و افشاری [۳۲]، بال ذوزنقه‌ای ساندویچی تشکیل شده از دو لایه‌ی همسانگرد و یک هسته لانه زنبوری را با فرض تئوری تغییر شکل برشی مرتبه اول و تحت جریان ماوراء صوت مدل کردند. معادلات صفحه ذوزنقه‌ای را از صفحه مختصات طبیعی به صفحه مختصات محاسباتی مستطیلی انتقال دادند و سپس معادلات را به صورت عددی و با استفاده از روش درجه‌بندی دیفرانسیلی حل کردند. در نهایت فرکانس‌های طبیعی، شکل مدها و همچنین سرعت بحرانی را محاسبه کردند. رفتار غیرخطی یک بال ذوزنقه‌ای تحت جریان ماوراء صوت توسط تیان و همکاران [۳۳] مورد مطالعه قرار گرفت. آنها با استفاده از نظریه خیزهای بزرگ و تئوری مرتبه سوم پیستون و همچنین با بکارگیری روش رایلی-ریتز و انتقال هندسه صفحه ذوزنقه‌ای از مختصات طبیعی به مختصات محاسباتی، بال ذوزنقه‌ای را مدل کرده و سپس با استفاده از انتگرال‌گیری عددی معادلات را حل کرده و از نظر آیروالاستیکی تحلیل کردند. همچنین در مطالعه‌ای دیگر [۳۴] به بررسی ارتعاشات غیرخطی صفحه ذوزنقه‌ای تحت تحریک خارجی عرضی و تشیدید داخلی با استفاده از روش رایلی-ریتز، انتقال مختصات و تئوری اغتشاشی پرداختند و نشان دادند که صفحه یکسرگیردار ذوزنقه‌ای با تغییر دامنه تحریک در حالت تشیدید داخلی یک به سه، رفتار آشفته، نیمه‌آشفته و تناوبی را از خود نشان می‌دهد.

همانطور که بررسی مطالعات پیشین نشان می‌دهد بیشتر تحقیقات در زمینه صفحات چندوجهی و ذوزنقه‌ای، به تحلیل ارتعاشات آزاد و استاتیکی اختصاص داده شده است و مطالعه بر روی پاسخ دینامیکی غیرخطی این صفحات بسیار محدود می‌باشد. در این مقاله به بررسی ارتعاشات غیرخطی و رفتار دینامیکی یک میکرو صفحه ذوزنقه‌ای لایه‌ای پیزوالکترونیک نانوکامپوزیت یکسرگیردار که

در میان ضخامت بر طبق قانون توزیع توانی تغییر می‌کند. ژانگ و همکاران [۲۱] دوشاخگی و حرکات متناوب و آشفته یک صفحه مستطیلی پیزوالکترونیک لایه‌ای را تحت تحریک‌های درون صفحه‌ای، پیزوالکترونیک و عرضی در حالت تشیدید اولیه پارامتریک و تشیدید داخلی ۱:۳ بررسی کردند. خورشیدی و کریمی [۲۲] به بررسی رفتار آیرودینامیکی یک صفحه ساندویچی در محیط گرمایی پرداختند و اثرات پارامترهای مختلف را بر پایداری دینامیکی بررسی کردند.

اگر چه تحقیقات زیادی در زمینه ارتعاشات صفحات لایه‌ای پیزوالکترونیک انجام شده است [۲۲-۷]، مطالعه در مورد تحلیل ارتعاشات و پاسخ دینامیکی صفحات ذوزنقه‌ای پیزوالکترونیک با تحریک‌های مختلف هنوز مورد بررسی قرار گرفته نشده است. تحلیل ارتعاشات غیرخطی صفحات ذوزنقه‌ای یکسرگیردار به دلیل پیچیدگی شرایط مرزی در لبه‌های آزاد و شکل هندسی نسبت به سایر صفحات دارای دشواری‌های زیادی می‌باشند. بنابراین بررسی رفتار ارتعاشی و پاسخ‌های مکانیکی این صفحات از اهمیت خاصی در طراحی‌های مهندسی برخوردار می‌باشد. از اینرو سرینیوسان و بابو [۲۳]، به تحلیل ارتعاشات صفحات چند وجهی و ذوزنقه‌ای با استفاده از روش عددی و بر پایه اصل تغییرات پرداختند. لیو و همکاران [۲۶-۲۴]، با استفاده از روش رایلی-ریتز فرکانس‌های طبیعی صفحات ذوزنقه‌ای همسانگرد و غیرهمسانگرد با تکیه‌گاه‌های مختلف ساده، گیردار، آزاد و با ضخامت ثابت و متغیر را بررسی کردند، آنها نشان دادند بیشترین فرکانس طبیعی زمانی است که صفحه یکسرگیردار ذوزنقه‌ای تا حد امکان به صفحه مثلثی تبدیل شود. ارتعاشات آزاد صفحات ذوزنقه‌ای یکسرگیردار چند لایه ضخیم متقارن با استفاده از روش پی-ریتز با درنظرگرفتن تئوری برشی مرتبه سوم توسط چن و همکاران [۲۷] ارائه شد. شکراللهی و بختیاری نژاد [۲۸]، با استفاده از روش رایلی-ریتز و تئوری جابجایی بزرگ ون کارمن به بررسی ارتعاشات یک بال ذوزنقه‌ای ریب در جریان‌های مادون صوت پرداختند. همچنین آنها اثرات پارامترهای کلیدی را در رفتار بال بررسی کردند. شوفرین و همکاران [۲۹]، از یک روش نیمه تحلیلی برای تحلیل ارتعاشات غیرخطی استاتیکی یک صفحه ذوزنقه‌ای تحت بار عرضی استفاده کردند. آنها با استفاده از روش تعمیم‌یافته چند ترمی کانترویچ و همچنین انتقال هندسه صفحه ذوزنقه‌ای از مختصات طبیعی به مختصات محاسباتی مستطیلی، جابجایی و تنش‌های صفحه را به ازای

هر لایه پیزوالکتریک عملگر می‌باشد. از ضخامت لایه چسب صرف نظر شده است. هندسه صفحه ذوزنقه‌ای و مختصات آن در شکل ۲ (الف) به تصویر کشیده شده است. همانطور که مشاهده می‌شود و طول دو ضلع مجاور، α و β مقادیر زاویه‌های حاد و منفرجه نسبت به محور x می‌باشند که در صفحه ذوزنقه‌ای متقارن مورد نظر $\alpha = \beta = 90^\circ$ فرض شده است. مبدأ مختصات سیستم در گوش پایینی صفحه ذوزنقه‌ای قرار گرفته شده است و صفحه محورهای $x-z$ بر سطح میانی صفحه ذوزنقه‌ای واقع شده است. همچنین محور z به سمت بالا می‌باشد. بعلاوه صفحه مورد نظر یکسرگیردار بوده بدین معنی که ضلع واقع بر محور x در شکل ۲ (الف) گیردار بوده و شرایط مرزی سایر وجهها آزاد می‌باشند. فرض شده است که بار عرضی مرکزی بر نقطه‌ی در انتهای آزاد صفحه و بر خط مرکزی ($L_x = L_z = 0.5$ m) وارد می‌شود.

$$Q_z(t) = Q \cos(\Omega_2 t) \quad (1)$$

Ω_2 فرکانس و Q دامنه تحریک هارمونیک عرضی می‌باشند.

به عنوان عملگر در میکرو ربات‌های پرنده‌ها بکار گرفته می‌شود و تحت فشار آیرودینامیک ناشی از جریان مادون‌صوت و تحریک‌های خارجی و پارامتریک می‌باشد، پرداخته می‌شود. معادلات دیفرانسیل غیرخطی با مشتق‌لات جزئی صفحه مورد نظر با استفاده از روش گلرکین جداسازی شده و به صورت معادلات دیفرانسیل با دو درجه آزادی و ترم‌های غیر خطی مرتبه سه استخراج می‌شود. با بکارگیری روش مقیاس‌های چندگانه با فرض تشید اولیه و داخلی $1:3$ معادلات کوپل شده حل می‌گردند. صحت مدل حاضر با مقایسه نتایج حاصل و تعدادی از پژوهش‌های پیشین مورد بررسی قرار می‌گیرند.

۲- تعریف مسئله

همانطور که در شکل ۱ نشان داده شده است، صفحه‌ی نانوکامپوزیت لایه‌ای پیزوالکتریک مورد نظر که به عنوان عملگر در ریزپرندۀ بکار گرفته می‌شود، تحت بارهای مکانیکی، الکتریکی و آیرودینامیکی قرار دارد. سازه از سه لایه تشکیل شده است که به صورت کامل و متقارن بهم متصل شده‌اند. ضخامت کل صفحه برابر H می‌باشد و h_p ضخامت

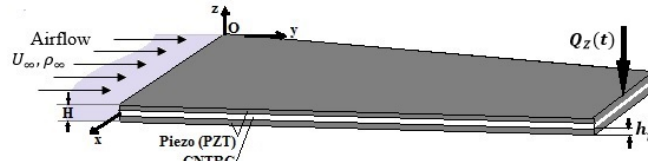


Fig. 1. The cantilever laminated CNTRC trapezoidal plate with two surface-bonded piezoelectric actuator layers subjected to a subsonic airflow and external transverse load

شکل ۱. صفحه ذوزنقه‌ای نانوکامپوزیت لایه‌ای یکسرگیردار با دو لایه عملگر پیزوالکتریک صفحه‌ای در معرض جریان مادون‌صوت و بار عرضی خارجی

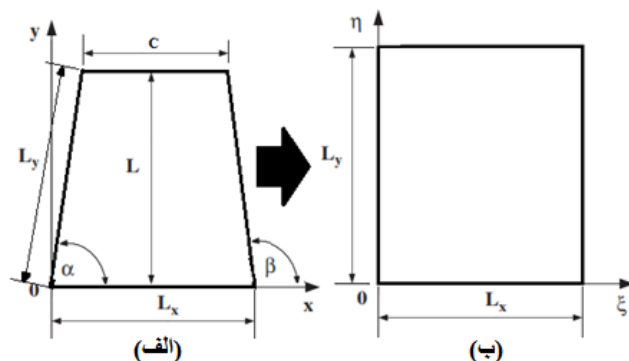


Fig. 2. Mapping of a trapezoidal plate (a) The original plate geometry, (b) The transformed model in computational domain [35]

شکل ۲: انتقال صفحه ذوزنقه‌ای (الف) هندسه صفحه ذوزنقه‌ای در مختصات مبدا (ب) مدل انتقال یافته شده در حوزه محاسباتی [۳۵]

[۳۷]

$$B_0(y) = \frac{L}{\pi} \left\{ \left(1 - \frac{y}{L} \right) \left(\ln \left(1 - \frac{y}{L} \right) - 1 \right) + \frac{y}{L} \left(\ln \frac{y}{L} - 1 \right) \right\} \quad (5)$$

$$R(y) = \left[\frac{\partial w}{\partial \Upsilon}(L) + \frac{1}{U_\infty} \frac{\partial w}{\partial t}(L) \right] \ln \left(1 - \frac{y}{L} \right) \quad (6)$$

وتابع $\frac{y-\Upsilon}{L} \ln \left(1 - \frac{y}{L} \right)$ اثر حافظه‌ی مکانی^۴ می‌باشد.

همچنین فرض شده است که ضخامت لایه‌های پیزوالکتریک در مقایسه با سایر ابعاد صفحه بسیار کوچک بوده پس می‌توان از ولتاژ خودالقاء صرفنظر کرد. بنابراین رابطه میدان الکتریکی ناشی از ولتاژ ورودی که به طور یکسان و همزمان به دو لایه‌ی بالایی و پایینی پیزوالکتریک وارد می‌شود بصورت رابطه (۲) می‌باشد [۴]:

$$E_Z(t) = \frac{V_E(t)}{h_p} \quad (2)$$

۳- خواص موثر مواد در لایه نانوکامپوزیت

خواص موثر مواد در لایه نانوکامپوزیت، مخلوط نانولوله‌های کربنی تک دیواره و پلیمر همسانگرد، بر اساس قانون اختلاط با معروفی پارامترهای موثر نانولوله‌های کربنی که به صورت مستقیم و یکنواخت در راستای ضخامت صفحه توزیع شده‌اند، به شرح زیر می‌باشد [۳]:

$$\begin{aligned} E_{11N} &= \eta_1 V_{CN} E_{11}^{CN} + V_m^h E_m^h \\ \frac{\eta_2}{E_{22N}} &= \frac{V_{CN}}{E_{22}^{CN}} + \frac{V_m^h}{E_m^h} \\ \frac{\eta_3}{G_{12N}} &= \frac{V_{CN}}{G_{12}^{CN}} + \frac{V_m^h}{G_m^h} \end{aligned} \quad (7)$$

E_m^h و G_m^h به ترتیب مدول یانگ و مدول برشی ماده زمینه همسانگرد لایه نانوکامپوزیت E_{11}^{CN} و E_{22}^{CN} پارامترهای مربوط به نانولوله‌ای کربنی می‌باشند. V_m^h و V_{CN} ضرایب کسر حجمی ماده زمینه و نانولوله‌های کربنی می‌باشند که توسط معادلات (۸) و (۹) به یکدیگر مرتبط می‌باشند. ضرایب η_1 ، η_2 و η_3 پارامترهای بهره‌وری نانولوله‌های کربنی هستند که با تطبیق مدول الاستیک نانوکامپوزیت تقویت شده با نانولوله‌های کربنی با استفاده از شبیه سازی دینامیک مولکولی و عددی از قانون اختلاط بدست می‌آید:

$$V_{CN} = \frac{W_{CN}}{W_{CN} + (\rho_{CN} / \rho_m^h) - (\rho_{CN} / \rho_m^h) W_{CN}} \quad (8)$$

$$V_{CN} + V_m^h = 1 \quad (9)$$

که در رابطه (۸) کسر جرمی نانولوله کربنی در صفحه

$V_E(t) = V_D + V_A \cos(\Omega_l t)$ ، بطوریکه V_A و Ω_l به ترتیب دامنه ولتاژهای مستقیم (DC)، متناوب (AC) و فرکانس ولتاژ متناوب می‌باشند. بنابراین برآیند نیروهای پیزوالکتریک وارد بر صفحه از رابطه (۳) محاسبه می‌شود:

$$\begin{bmatrix} N_1^P \\ N_2^P \\ N_{12}^P \end{bmatrix} = \sum_{k=1}^3 \int_{z_k}^{z_{k+1}} [e]^{(k)} [E_Z(t)]^{(k)} dz \quad (3)$$

$[e]^{(k)}$ ماتریس ثابت‌های پیزوالکتریک می‌باشد. بنابراین برآیند نیروهای پیزوالکتریک به صورت $N_1^P = N_2^P = N_D^P + N_A^P \cos(\Omega_l t)$ بدست می‌آید. از آنجایی که صفحه متقارن است برآیند گشتاورهای پیزوالکتریک برابر صفر می‌باشد.

علاوه عملگر مورد بررسی، در معرض جریان هوای مادون‌صوت محوری با چگالی (ρ_∞) و سرعت (U_∞) قرار دارد. جریان از نوع تراکمناپذیر^۱، بدون لزجت^۲ و چرخش بوده که به این نوع جریان، جریان پتانسیل می‌گویند و می‌توان آن را به کمک نظریه جریان پتانسیل خطی^۳ مدل کرد و با کمک رابطه (۴) بدست می‌آید [۳۷]:

$$\Delta P = -\rho_\infty U_\infty^2 \left[B_0(y) \left(\frac{\partial^2 w}{\partial \Upsilon^2} + \frac{2}{U_\infty} \frac{\partial^2 w}{\partial \Upsilon \partial t} + \frac{1}{U_\infty^2} \frac{\partial^2 w}{\partial t^2} \right) - \frac{R(y)}{\pi} \right] \quad (4)$$

در رابطه (۴) ترم‌های $\frac{\partial^2 w}{\partial t^2}$ و $\frac{2}{U_\infty} \frac{\partial^2 w}{\partial \Upsilon \partial t}$ به ترتیب مربوط به شتاب گریز از مرکز، کوریولیس و شتاب انتقالی ذرات هوا می‌باشند و برای صفحه یکسرگیردار به صورت روابط (۵) و (۶) تعریف می‌شود

1 Incompressible

2 Inviscid

3 Linear potential flow theory

۵- اصل همیلتون

از اصل همیلتون برای استخراج معادلات حرکت صفحه نانوکامپوزیت پیزوالکتریک ذوزنقه‌ای بر طبق تئوری کلاسیک صفحات لایه‌ای و جابجایی‌های بزرگ ون کارمن به صورت رابطه‌ی (۱۵) استفاده شده است [۳۶]:

$$\int_0^T \delta(U + V - K) dt = 0 \quad (15)$$

که در رابطه (۱۵) U انرژی کرنشی، V معرف کار انجام شده توسط نیروهای خارجی و K انرژی جنبشی می‌باشد. انرژی کرنشی، جنبشی و کار مجازی به صورت زیر قابل محاسبه می‌باشد:

$$\delta U = \iint_{\Omega_0} \int_{-H/2}^{H/2} (\sigma_{xx} \delta \epsilon_{xx} + \sigma_{yy} \delta \epsilon_{yy} + \sigma_{xy} \delta \epsilon_{xy}) dz dx dy \quad (16-\text{الف})$$

$$\delta K = \iint_{\Omega_0} \int_{-H/2}^{H/2} \rho [(\dot{u}_0 - z \frac{\partial \dot{w}_0}{\partial x})(\delta \dot{u}_0 - z \frac{\partial \delta \dot{w}_0}{\partial x}) + (\dot{v}_0 - z \frac{\partial \dot{w}_0}{\partial y})(\delta \dot{v}_0 - z \frac{\partial \delta \dot{w}_0}{\partial y}) + \dot{w}_0 \delta \dot{w}_0] dz dx dy \quad (16-\text{ب})$$

$$\delta V = - \iint_{\Omega_0} Q_z(t) \delta(x - x_0, y - y_0) \quad (16-\text{ج})$$

$$\delta w_0 dx dy + \iint_{\Omega_0} \Delta P \delta w_0 dx dy$$

در رابطه (۱۶-ب) نقطه بالای حروف نمایانگر مشتق نسبت به زمان می‌باشد. Ω_0 مساحت صفحه بوده و $(Q_z(t))$ بار مکانیکی عرضی می‌باشد. این روابط با استفاده از معادلات کریشهف و معادلات ساختاری صفحه بدست می‌آیند.

۶- انتقال هندسه

از آنجایی که استخراج روابط حاکم بر شرایط مرزی در یک ورق ذوزنقه‌ای شکل، در حالت عادی دشوار بوده و تحلیل مسئله در آن شرایط نیز بسیار سخت و بعضی غیرممکن می‌باشد ضروریست ابتدا با یک نگاشت مناسب، میدان فیزیکی مسئله، به یک میدان محاسباتی قابل تحلیل منتقل گردد. در این بخش از سیستم مختصات پارامتری

می‌باشد. همچنین ρ_m و ρ_{CN} چگالی‌های جرمی ماده زمینه و نانولوله کربنی می‌باشند. ضریب پواسن ν_{12N} و چگالی جرمی ρ_N که مستقل از دما فرض شده‌اند، در لایه نانوکامپوزیت تقویت شده به سرح زیر محاسبه می‌شوند:

$$V_{12N} = V_{CN} V_{12}^{CN} + V_m^h V_h^m \quad (10)$$

$$\rho_N = V_{CN} \rho_{CN} + V_m^h \rho_h^m \quad (11)$$

V_h^m و V_{12}^{CN} ضرایب پواسن مربوط به نانولوله‌های کربنی و ماده زمینه می‌باشند.

۴- معادلات ساختاری

معادلات ساختاری صفحه لایه‌ای پیزوالکتریک با فرض اینکه هر صفحه دارای یک سطح متقاضن الاستیک موازی با محور y و همچنین تحت بار الکتریکی می‌باشد، به صورت زیر بیان می‌شود [۳۶]:

$$\begin{Bmatrix} \sigma_{xx} \\ \sigma_{yy} \\ \sigma_{xy} \end{Bmatrix}^{(k)} = \begin{bmatrix} Q_{11} & Q_{12} & 0 \\ Q_{12} & Q_{22} & 0 \\ 0 & 0 & Q_{33} \end{bmatrix}^{(k)} \begin{Bmatrix} \epsilon_{xx} \\ \epsilon_{yy} \\ \epsilon_{xy} \end{Bmatrix}^{(k)} - \begin{bmatrix} 0 & 0 & e_{31} \\ 0 & 0 & e_{32} \\ 0 & 0 & 0 \end{bmatrix} \begin{Bmatrix} 0 \\ 0 \\ E_z \end{Bmatrix}^{(k)} \quad (12)$$

که در رابطه (۱۲) σ_{xx} ، σ_{yy} و σ_{xy} تنش‌ها و ϵ_{xx} ، ϵ_{yy} و ϵ_{xy} تنش‌ها و e_{31} ، e_{32} ثابت‌های پیزوالکتریک می‌باشند. Q_{ij} سختی الاستیک لایه نانوکامپوزیت (Q_{ijN}) و لایه‌های پیزوالکتریک (Q_{jpp}) برای $(i, j = 1, 2, 3)$ به شرح زیر معرفی می‌شوند:

: [۴]

$$Q_{11N} = \frac{E_{11N}}{1 - \nu_{12N} V_{21N}}, \quad Q_{12N} = \frac{\nu_{12N} E_{22N}}{1 - \nu_{12N} V_{21N}}, \quad (13)$$

$$Q_{22N} = \frac{E_{22N}}{1 - \nu_{12N} V_{21N}}, \quad Q_{33N} = G_{12N}$$

$$Q_{11p} = Q_{22p} = \frac{E_{11p}}{1 - \nu_p^2}, \quad Q_{12p} = \frac{\nu_p E_{11p}}{1 - \nu_p^2}, \quad (14)$$

$$Q_{33p} = G_{12p} = \frac{E_{11p}}{2(1 + \nu_p)}$$

($i=1, 2, 3$) F_{ik} توابع خطی و (\tilde{F}_k) توابع غیرخطی به ازاء ($i=1, 2, 3$) و ($k=1, 2, 3, 4, 5$) می‌باشند. همچنین (\hat{F}) تابع مشتقات دوم بر حسب زمان، \hat{F}_{PL1} تابعی از مشتق دوم w_0 نسبت به زمان بوده و \hat{F}_{PL2} تابعی از مشتق اول w_0 نسبت به زمان ناشی از روابط جریان آبرو دینامیک می‌باشد که در پیوست الف به طور کامل آورده شده‌اند. در معادله (۱۹) ممان اینرسی جرمی می‌باشد که به شرح زیر می‌باشد:

$$I_0 = \int_{-\frac{H+h_p}{2}}^{\frac{H+h_p}{2}} \rho_p dz + \int_{\frac{H-h_p}{2}}^{\frac{H-h_p}{2}} \rho_N dz + \int_{\frac{H}{2}-h_p}^{\frac{H}{2}} \rho_p dz \quad (۲۰)$$

شرایط مرزی صفحه که در $\eta = 0$ گیردار و در سایر وجه‌ها شرایط

مرزی آزاد دارد، با استفاده از معادلات (۱۹) محاسبه می‌شوند:

$$\begin{aligned} \eta = 0 : \quad w_0 = v_0 = u_0 = \frac{\partial w_0}{\partial \eta} = 0, \\ \eta = L_y : \quad \check{N}_{\eta\eta} = \check{N}_{\xi\eta} = \check{M}_{\eta\eta} = \check{Q}_{\eta} = 0 \\ \xi = 0 : \quad \check{N}_{\xi\eta} = \check{N}_{\xi\xi} = \check{M}_{\xi\xi} = \check{Q}_{\xi} + \frac{\partial \check{M}_{\xi\eta}}{\partial \eta} = \\ 0, \quad \xi = L_x : \quad \check{N}_{\xi\eta} = \check{N}_{\xi\xi} = \check{M}_{\xi\xi} = \check{Q}_{\xi} + \frac{\partial \check{M}_{\xi\eta}}{\partial \eta} = 0 \end{aligned} \quad (۲۱)$$

برآیند نیروهای صفحه‌ای، برآیند گشتاورها و برآیند نیروهای عرضی صفحه ذوزنقه‌ای انتقال یافته در حوزه محاسباتی می‌باشند.

۷- گسته‌سازی معادلات حرکت

به جهت ساده‌سازی معادلات از فرم معادلات دیفرانسیل پاره‌ای به فرم معادلات دیفرانسیل معمولی از روش گلرکین استفاده می‌شود. با توجه به نظر بسیاری از محققان [۱۸ و ۲۱] در نظر گرفتن دو مد، برای ارائه نتایج کیفی در کاربردهای عملی می‌تواند کافی باشد و همچنین با توجه به جهت جریان هوای مادون‌صوت وارد بر صفحه دو مد ارتعاشی (۱) و (۲) از صفحه در نظر گرفته شده است. بنابراین توابع شکل مدی که شرایط مرزی را ارضاء نمایند به صورت زیر ارائه می‌شوند [۲۸]:

$$\begin{aligned} u_0(\xi, \eta, t) &= u_1(t) \cos\left(\frac{\pi \xi}{L_x}\right) \sin\left(\frac{3\pi \eta}{2L_y}\right) \\ v_0(\xi, \eta, t) &= v_1(t) \cos\left(\frac{\pi \xi}{L_x}\right) \sin\left(\frac{3\pi \eta}{2L_y}\right) \\ w_0(\xi, \eta, t) &= w_1(t) \phi_1(\xi) \psi_1(\eta) + w_2(t) \phi_2(\xi) \psi_2(\eta) \end{aligned} \quad (۲۲)$$

محلي به جای مختصات کارتزین برای تحلیل صفحه ذوزنقه‌ای استفاده می‌شود. بنابرین هر نقطه‌ای از صفحه ذوزنقه‌ای در سیستم مختصات $x-y$ به حوزه محاسباتی مستطیلی در مختصات $\xi-\eta$ - ζ شکل ۲ با استفاده از روابط زیر منتقل می‌گردد [۲۹ و ۳۰]:

$$x = \xi + \eta \cos(\alpha) - \xi \eta \frac{\sin(\beta-\alpha)}{L_x \sin(\beta)} \quad (\text{الف})$$

$$y = \eta \sin(\alpha) \quad (\text{ب})$$

ماتریس ژاکوبین با استفاده از روابط (۱۷) به شرح زیر تعیین می‌گردد:

$$\begin{bmatrix} J_x \\ J_y \end{bmatrix} = \begin{bmatrix} x_{,\xi} & y_{,\xi} \\ x_{,\eta} & y_{,\eta} \end{bmatrix} = \begin{bmatrix} J_{11} & J_{12} \\ J_{21} & J_{22} \end{bmatrix} = \begin{bmatrix} 1 - \eta \frac{\sin(\beta-\alpha)}{L_x \sin(\beta)} & 0 \\ \cos(\alpha) - \xi \frac{\sin(\beta-\alpha)}{L_x \sin(\beta)} & \sin(\alpha) \end{bmatrix} \quad (۱۸)$$

با جایگذاری معادلات صفحه بر حسب تئوری صفحات کلاسیک و با فرض جابجایی‌های بزرگ ون کارمن [۳۶] و همچنین روابط (۱)، (۲) و (۴) مربوط به تحريك‌های خارجی در معادله همیلتون و انتگرال گیری در راستای ضخامت لایه‌ها و با استفاده از روابط انتقال هندسی (۱۷) و (۱۸) در رابطه (۱۵) و جمع کردن ضرایب مربوط به هر کدام از جابجایی‌های مجازی δu_0 ، δv_0 و δw_0 و مساوی صفر قراردادن آنها، معادلات ارتعاشات غیرخطی و شرایط مرزی عملگر لایه‌ای ذوزنقه‌ای نانوکامپوزیت پیزوالکتریک تحت تحريك‌های مکانیکی، الکتریکی و آبرو دینامیکی به صورت روابط (۱۹) بدست می‌آیند:

$$\delta u_0 : F_{11}(u_0) + F_{12}(v_0) + \tilde{F}_1(w_0) = I_0 \hat{F}(u_0) \quad (\text{الف})$$

$$\delta v_0 : F_{21}(u_0) + F_{22}(v_0) + \tilde{F}_2(w_0) = I_0 \hat{F}(v_0) \quad (\text{ب})$$

$$\begin{aligned} \delta w_0 : & F_{33PL}(w_0) + (-N_1^P) F_{34}(w_0) + \\ & (-N_2^P) F_{35}(w_0) + \tilde{F}_3(w_0) + \tilde{F}_4(u_0, w_0) + \\ & \tilde{F}_5(v_0, w_0) + \hat{F}_{PL1}(w_0) + \hat{F}_{PL2}(w_0) + \\ & Q_z(t) J \delta(\xi - \bar{\xi}) \delta(\eta - \bar{\eta}) = I_0 \hat{F}(w_0) \end{aligned} \quad (\text{ج})$$

بطوریک

یکسرگیردار با ترم‌های غیرخطی مرتبه سه به صورت روابط (۲۶) بدست می‌آیند. برای سادگی از نماد بی بعد ξ صرفنظر شده است.

$$\begin{aligned} \ddot{w}_1 + \mu_{11}\dot{w}_1 + d_{10}w_1 + (F_{01}^P + F_{11}^P \cos(\Omega_1 t))w_1 + \\ d_{11}w_1^3 + d_{12}w_1^2 w_2 + d_{13}w_1 w_2^2 + d_{14}w_2^3 + \\ (d_{15} + F_{02}^P + F_{12}^P \cos(\Omega_1 t))w_2 + \mu_{12}\dot{w}_2 = \\ q_{z1} \cos(\Omega_2 t + \tau_1) \\ \ddot{w}_2 + \mu_{22}\dot{w}_2 + d_{20}w_2 + (F_{03}^P + F_{21}^P \cos(\Omega_1 t))w_2 + \\ d_{21}w_2^3 + d_{22}w_2^2 w_1 + \\ d_{23}w_2 w_1^2 + d_{24}w_1^3 + (d_{25} + F_{04}^P + F_{22}^P \cos(\Omega_1 t))w_1 + \\ \mu_{21}\dot{w}_1 = q_{z2} \cos(\Omega_2 t + \tau_2) \end{aligned} \quad (26)$$

τ_1 و τ_2 ثابت هستند و سایر ضرایب در پیوست ب قابل مشاهده می‌باشند.

$$\begin{aligned} \phi_m(\xi) &= 1 \text{ if } m=1 \\ \phi_m(\xi) &= \sqrt{3}(1 - 2\frac{\xi}{L_x}) \text{ if } m=2 \\ \psi_n(\eta) &= \cos \beta_n \eta - \cosh \beta_n \eta + \alpha_n (\sin \beta_n \eta - \sinh \beta_n \eta) \\ \text{if } n \geq 1 \\ \alpha_n &= -(\cos \beta_n L_y + \cosh \beta_n L_y) / (\sin \beta_n L_y + \sinh \beta_n L_y) \\ \cos \beta_n L_y \cosh \beta_n L_y + 1 &= 0, \beta_n L_y = 1.8751, 4.6941, 7.8547, \dots \end{aligned} \quad (23)$$

در ادامه روابط (۲۲) و (۲۳) در معادلات (۱۹) جایگذاری می‌شوند و با بکارگیری روش گلرکین معادلات حرکت دو درجه آزادی بدست می‌آیند. از آنجاییکه حل تحلیلی معادلات با کمک روش‌های اغتشاشی انجام می‌پذیرد، بهتر است این روش‌ها در قالب معادلات بی‌بعد اعمال گردند تا جملات از نظر مرتبه قابل مقایسه باشند. با توجه به اینکه پارامتر کوچک بدون بعد ε به صورت رابطه (۲۴) تعریف می‌شود:

$$\varepsilon = \frac{H}{\sqrt{L_x L_y}} \quad (24)$$

و سپس سایر پارامترهای معادلات با توجه به ε و با کمک روابط (۲۵) بی‌بعد سازی می‌شوند:

$$\begin{aligned} u_0 &= L_x \bar{u}_0, v_0 = L_y \bar{v}_0, w_0 = H \bar{w}_0, t = (\frac{\rho_p L_x L_y}{E_{11N}})^{-1/2} \bar{t}, \\ A_{ij} &= \frac{E_{11N} H^2}{(L_x L_y)^{1/2}} \bar{A}_{ij}, B_{ij} = \frac{E_{11N} H^3}{(L_x L_y)^{1/2}} \bar{B}_{ij}, \\ D_{ij} &= \frac{E_{11N} H^4}{(L_x L_y)^{1/2}} \bar{D}_{ij}, \xi = L_x \bar{\xi}, \eta = L_y \bar{\eta}, \\ I_0 &= (L_x L_y)^{1/2} \rho_p \bar{I}_0, \Omega_i = (\frac{\rho_p L_x L_y}{E_{11N}})^{1/2} \bar{\Omega}_i, \\ Q_z &= \frac{E_{11N} H^7}{(L_x L_y)^{7/2}} \bar{Q}_z, N_i^P = \frac{E_{11N} H^2}{(L_x L_y)^{1/2}} \bar{N}_i^P, \\ \mu_p &= \frac{\rho_\infty H}{\rho_p (L_x L_y)^{1/2}}, \lambda_p = \frac{\rho_\infty U_\infty^2}{E_{11N}} \end{aligned} \quad (25)$$

از آنجایی که صفحه ذوزنقه‌ای یکسرگیردار مورد نظر دارای ضخامت کمی می‌باشد، اثرات ترم‌های اینرسی بر u و v کوچکتر از ترم اینرسی خمی می‌باشند و با دقت قابل قبولی می‌توان از آنها صرفنظر کرد و با جایگذاری مختصه‌های جابجایی‌های درون صفحه‌ای که از روابط (۱۹-الف) و (۱۹-ب) بدست می‌آیند، در ترم‌های سختی غیرخطی معادله حرکت عرضی در رابطه (۱۹-ج)، در نهایت معادلات دیفرانسیل دو درجه آزادی بی‌بعد در حوزه زمان حاکم بر حرکت عرضی صفحه لایه‌ای نانوکامپوزیت پیزوالکترویک ذوزنقه‌ای

$$\begin{aligned} \frac{d}{dt} &= \frac{dT_0}{dt} \frac{\partial}{\partial T_0} + \frac{dT_1}{dt} \frac{\partial}{\partial T_1} + \frac{dT_2}{dt} \frac{\partial}{\partial T_2} + \dots = D_0 + \varepsilon D_1 + \varepsilon^2 D_2 + \dots \\ \frac{d^2}{dt^2} &= D_0^2 + 2\varepsilon D_0 D_1 + \varepsilon^2 (D_1^2 + 2D_0 D_2) + \dots \end{aligned} \quad (27)$$

که در روابط (۲۷)، D_n ، بصورت $D_n = \frac{\partial}{\partial T_n}$ تعریف می‌شود. پارامتر دامنه w_i را می‌توان با بسط زیر جایگزین کرد:

$$\begin{aligned} w_i &= \varepsilon z_i \\ z_i(t; \varepsilon) &= z_{i0}(T_0, T_1, T_2, \dots) + \\ \varepsilon z_{i1}(T_0, T_1, T_2, \dots) &+ \varepsilon^2 z_{i2}(T_0, T_1, T_2, \dots) + \dots \end{aligned} \quad (28)$$

حل عمومی معادلات خطی (۳۱) به صورت زیر بدست می‌آید:

$$z_{i0} = A_{i0}(T_1, T_2) \exp(i\omega_i T_0) + \bar{A}_{i0}(T_1, T_2) \exp(-i\omega_i T_0) \quad (i=1,2) \quad (34)$$

بطوریکه A_{i0} توابع مختلط نامعلوم از T_1 و T_2 می‌باشند و \bar{A}_{i0} مزدوج مختلط A_{i0} می‌باشد. در ادامه رابطه (۳۴) در روابط (۳۲) جایگذاری می‌شود. پس از حل و اعمال شرایط حل پذیری $z_{11}, D_1 A_{10} = 0 \rightarrow A_{10} = A_{10}(T_2)$, $D_1 A_{20} = 0 \rightarrow A_{20} = A_{20}(T_2)$ و z_{21} به صورت روابط (۳۵) حاصل می‌شوند:

$$\begin{aligned} z_{11} &= -\frac{\overline{F_{11}} \overline{A_{10}}}{2[\omega_1^2 - (\omega_1 + \Omega_1)^2]} \exp(i(\omega_1 + \Omega_1)T_0) \\ &\quad - \frac{\overline{F_{11}} \overline{A_{10}}}{2[\omega_1^2 - (\omega_1 - \Omega_1)^2]} \exp(i(\omega_1 - \Omega_1)T_0) - \\ &\quad \frac{\overline{F_{12}} \overline{A_{20}}}{2[\omega_1^2 - (\omega_2 + \Omega_1)^2]} \exp(i(\omega_2 + \Omega_1)T_0) - \\ &\quad \frac{\overline{F_{12}} \overline{A_{20}}}{2[\omega_1^2 - (\omega_2 - \Omega_1)^2]} \exp(i(\omega_2 - \Omega_1)T_0) + cc \\ z_{21} &= -\frac{\overline{F_{21}} \overline{A_{20}}}{2[\omega_2^2 - (\omega_2 + \Omega_1)^2]} \exp(i(\omega_2 + \Omega_1)T_0) - \\ &\quad \frac{\overline{F_{21}} \overline{A_{20}}}{2[\omega_2^2 - (\omega_2 - \Omega_1)^2]} \exp(i(\omega_2 - \Omega_1)T_0) - \\ &\quad \frac{\overline{F_{22}} \overline{A_{10}}}{2[\omega_2^2 - (\omega_1 + \Omega_1)^2]} \exp(i(\omega_1 + \Omega_1)T_0) - \\ &\quad \frac{\overline{F_{22}} \overline{A_{10}}}{2[\omega_2^2 - (\omega_1 - \Omega_1)^2]} \exp(i(\omega_1 - \Omega_1)T_0) + cc \end{aligned} \quad (35)$$

حال با جایگذاری روابط (۳۴) و (۳۵) در معادلات (۳۳) و برابر

صفر قرار دادن ترم‌های منفرد معادلات زیر حاصل می‌شوند:

$$\begin{aligned} &-(2D_2 A_{10} i\omega_1 + C_{11} A_{10} i\omega_1 + 3d_{11} A_{10}^2 \bar{A}_{10} + \\ &2d_{13} A_{10} A_{20} \bar{A}_{20} - \frac{(F_{11})^2 \overline{A_{10}}}{4[\omega_1^2 - (\omega_1 + \Omega_1)^2]} - \\ &\frac{(F_{11})^2 \overline{A_{10}}}{4[\omega_1^2 - (\omega_1 - \Omega_1)^2]} - \frac{F_{12} F_{22} \overline{A_{10}}}{4[\omega_2^2 - (\omega_1 + \Omega_1)^2]} - \\ &\frac{F_{12} F_{22} \overline{A_{10}}}{4[\omega_2^2 - (\omega_1 - \Omega_1)^2]} - d_{12} \bar{A}_{10}^2 A_{20} \exp(i\sigma_2 T_2)) \end{aligned} \quad (36)$$

ارتعاشات عملگر ذوزنقه‌ای در حالت تشديد اولیه و داخلی ۱:۳ مورد بررسی قرار گرفته شده است بنابراین روابط فرکانس تحریک خارجی و فرکانس‌های سیستم به صورت معادلات (۲۹) می‌باشد:

$$\Omega_2 = \omega_1 + \varepsilon^2 \sigma_1, \quad \omega_2 = 3\omega_1 + \varepsilon^2 \sigma_2 \quad (29)$$

بطوریکه $\omega_2^2 = d_{20} + F_{03}^P$ ، $\omega_1^2 = d_{10} + F_{01}^P$ پارامتر کوچک ε اغتشاشی، σ_1 و σ_2 دو پارامتر بهره‌وری می‌باشند. بنابراین می‌توان معادلات (۲۶) را به صورت زیر بازنویسی کرد:

$$\begin{aligned} &\ddot{z}_1 + \varepsilon^2 C_{11} \dot{z}_1 + \omega_1^2 z_1 + \varepsilon \overline{F_{11}}^P \cos(\Omega_1 t) z_1 \\ &+ \varepsilon^2 d_{11} z_1^3 + \varepsilon^2 d_{12} z_1^2 z_2 + \varepsilon^2 d_{13} z_1 z_2^2 + \\ &\varepsilon^2 d_{14} z_2^3 + \varepsilon^2 (d_{15} + \overline{F_{02}}) z_2 + \varepsilon \overline{F_{12}}^P \cos(\Omega_1 t) z_2 + \\ &\varepsilon^2 C_{12} \dot{z}_2 = \varepsilon^2 q_{z1} \cos(\Omega_2 t + \tau_1) \\ &\ddot{z}_2 + \varepsilon^2 C_{22} \dot{z}_2 + \omega_2^2 z_2 + \varepsilon \overline{F_{21}}^P \cos(\Omega_1 t) z_2 + \\ &\varepsilon^2 d_{21} z_2^3 + \varepsilon^2 d_{22} z_2^2 z_1 + \varepsilon^2 d_{23} z_2 z_1^2 + \\ &\varepsilon^2 d_{24} z_1^3 + \varepsilon^2 (d_{25} + \overline{F_{04}}) z_1 + \varepsilon \overline{F_{22}}^P \cos(\Omega_1 t) z_1 + \\ &\varepsilon^2 C_{21} \dot{z}_1 = \varepsilon^2 q_{z2} \cos(\Omega_2 t + \tau_2) \end{aligned} \quad (30)$$

بطوریکه در روابط (۳۰) و (۳۱) برای ($i=1, 2$ ، $j=1, 2$) $\overline{d}_{ij} = \varepsilon^{-2} d_{ij}$ و $\overline{F}_{0j}^P = \varepsilon^{-2} F_{0j}^P$ ، $\overline{F}_{02}^P = \varepsilon^{-2} F_{02}^P$ می‌باشند. با جایگذاری روابط (۳۰) و (۳۱) در روابط (۲۷) و (۲۸) و جداسازی مرتبه‌های مختلف ε معادلات (۳۱) تا (۳۳) به شکل زیر حاصل می‌شوند:

$$\begin{aligned} D_0^2 z_{10} + \omega_1^2 z_{10} &= 0 \\ D_0^2 z_{20} + \omega_2^2 z_{20} &= 0 \end{aligned} \quad (31)$$

$$\begin{aligned} D_0^2 z_{11} + \omega_1^2 z_{11} &= -2D_0 D_1 z_{10} - \\ \overline{F_{11}}^P \cos(\Omega_1 t) z_{10} - \overline{F_{12}}^P \cos(\Omega_1 t) z_{20} & \\ D_0^2 z_{21} + \omega_2^2 z_{21} &= -2D_1 D_0 z_{20} - \\ \overline{F_{21}}^P \cos(\Omega_1 t) z_{20} - \overline{F_{22}}^P \cos(\Omega_1 t) z_{10} & \end{aligned} \quad (32)$$

$$\begin{aligned} D_0^2 z_{12} + \omega_1^2 z_{12} &= -C_{11} D_0 z_{10} - \overline{F_{11}}^P \cos(\Omega_1 t) z_{11} - \\ 2D_0 D_2 z_{10} - D_1^2 z_{10} - 2D_0 D_1 z_{11} - & \\ d_{11} z_{10}^3 - d_{12} z_{10}^2 z_{20} - d_{13} z_{10} z_{20}^2 - d_{14} z_{20}^3 - & \\ (d_{15} + \overline{F_{02}}) z_{20} - \overline{F_{12}}^P \cos(\Omega_1 t) z_{21} - & \\ C_{12} D_0 z_{20} + q_{z1} \cos(\Omega_2 T_0 + \tau_1) & \\ D_0^2 z_{22} + \omega_2^2 z_{22} &= -C_{22} D_0 z_{20} - \overline{F_{21}}^P \cos(\Omega_1 t) z_{21} - \\ 2D_0 D_2 z_{20} - D_1^2 z_{20} - 2D_0 D_1 z_{21} - & \\ d_{21} z_{20}^3 - d_{22} z_{20}^2 z_{10} - d_{23} z_{20} z_{10}^2 - d_{24} z_{10}^3 - & \\ (d_{25} + \overline{F_{04}}) z_{10} - \overline{F_{22}}^P \cos(\Omega_1 t) z_{11} - & \\ C_{21} D_0 z_{10} + q_{z2} \cos(\Omega_2 T_0 + \tau_2) & \end{aligned} \quad (33)$$

ماندگار دامنه‌ها و فازها ثابت هستند. بنابراین دامنه‌ها و فازها در حالت ماندگار رابطه‌ی $(i = 1, 2)$ را ارضاء می‌کنند. بنابراین با حل معادلات (۳۷) در حالت ماندگار و شبیه‌سازی عددی، رفتار دینامیک غیرخطی و پاسخ‌های حالت ماندگار صفحه ذوزنقه‌ای نانوکامپوزیت پیزوالکتریک یکسرگیردار بدست می‌آید.

۹- نتایج عددی

در این بخش نتایج عددی حاصل از تحلیل ارتعاشات غیرخطی صفحه نانوکامپوزیت تقویت شده ذوزنقه‌ای با دو لایه پیزوالکتریک در معرض جریان مادون صوت تحت بار مکانیکی و ولتاژ الکتریکی بررسی می‌شود. خواص موثر مواد نانوکامپوزیت، مخلوط نانولوله‌های کربنی تک دیواره و پلیمر همسانگرد، همچنین پیزوالکتریک استفاده شده در این مقاله در جدول ۱ آورده شده‌اند. پارامترهای بهره‌وری نانولوله‌های کربنی η_j بر طبق قانون اختلاط قابل محاسبه هستند. برای مورد $V_{CN} = ۰/۱۱$ ، $\zeta_1 = ۰/۱۴۹$ ، $\zeta_2 = ۰/۹۳۴$ برای $V_{CN} = ۰/۱۴$ ، $\zeta_1 = ۰/۱۵$ و $\zeta_2 = ۰/۹۴۱$ و برای $V_{CN} = ۰/۱۷$ ، $\zeta_1 = ۰/۱۴۹$ در نظر گرفته شده است [۳۸]. ابعاد صفحه با توجه به شکل ۲ به صورت $L_x = ۵ \text{ mm}$ و $L = ۱۰ \text{ mm}$ انتخاب شده است و ضخامت کل صفحه و ضخامت لایه نانو کامپوزیت به ترتیب $h = ۱۰۰ \text{ } \mu\text{m}$ و $H = ۱۲۰ \text{ } \mu\text{m}$ در نظر گرفته شد. سایر پارامترهای مورد نیاز به صورت موردنی در ادامه هر شکل آورده شده است. نتایج ارائه شده از شبیه‌سازی مدل بدست آمده برای صفحه مورد نظر و با نرم افزار متلب بدست آورده شده است.

در ابتدا به جهت بررسی دقت و صحت مدل صفحه چند لایه ذوزنقه‌ای، فرکانس طبیعی مد اول بدست آمده از نرم‌افزار متلب با مثال ساده‌تر از مراجع پیشین و شبیه‌سازی انجام شده در نرم‌افزار المان محدود آباکوس مقایسه می‌شود. به جهت اعتبارسنجی معادلات مدل حاضر، فرکانس طبیعی صفحه ذوزنقه‌ای یکسرگیردار همسانگرد محاسبه شد و با نتایج عددی بر پایه دیدگاه رایلی-ریتز در مطالعه انجام شده توسط لیو و لم [۲۴] و همچنین با مدل این مثال در نرم افزار آباکوس، در جدول ۲ مقایسه گردید. داده‌های محاسباتی در این مثال عبارتند از $E_1 = E_2 = 1 \text{ GPa}$ ، $G_{12} = ۰/۳۸۵ \text{ GPa}$ و $L/L_x = ۱$ ، $i = ۰/۳$ ، $D = EH^3/12(1 - \nu^2)$ در نظر گرفته شده که در آن $\nu = L_x^2/2\delta(\bar{n}H/D)^{0.5}$

$$+ \exp(i\sigma_1 T_2) \exp(i\tau_1) \frac{q_{z1}}{2} = 0 \\ - (2D_2 A_{20} i\omega_2 + C_{22} A_{20} \frac{i\omega_2}{\omega_2 - (\omega_2 + \Omega_1)^2} + 3d_{21} A_{20}^2 \bar{A}_{20} + \frac{(F_{12})^2 A_{20}}{4[\omega_2^2 - (\omega_2 + \Omega_1)^2]} - \frac{\bar{(F_{12})}^2 A_{20}}{4[\omega_2^2 - (\omega_2 - \Omega_1)^2]} - \frac{F_{22} F_{12} A_{20}}{4[\omega_1^2 - (\omega_2 + \Omega_1)^2]} - \frac{F_{22} \bar{F}_{12} A_{20}}{4[\omega_1^2 - (\omega_2 - \Omega_1)^2]})) - d_{24} A_{10}^3 \exp(-i\sigma_2 T_2) = 0 \quad (36)$$

با وارد کردن دامنه‌های A_{i0} و \bar{A}_{i0} به فرم قطبی $\bar{A}_{i0}(T_2) = \frac{1}{2} a_{i0}(T_2) \exp(-ib_{i0}(T_2))$ و $A_{i0}(T_2) = \frac{1}{2} a_{i0}(T_2) \exp(ib_{i0}(T_2))$ در معادلات و جداسازی جملات حقیقی و موهومی معادلات (۳۷) حاصل می‌شوند:

$$a'_{10} = -\frac{C_{11} a_{10}}{2} - \frac{d_{12}}{8\omega_1} a_{20} a_{10}^2 \sin(\delta_2) + \frac{q_{z1}}{2\omega_1} \sin(\delta_1) \\ a'_{20} = -\frac{C_{22}}{2} a_{20} + \frac{d_{24}}{8\omega_2} a_{10}^3 \sin(\delta_2) \\ \delta' a_{10} = \sigma_1 a_{10} - \frac{3d_{11}}{8\omega_1} a_{10}^3 - \frac{d_{13}}{4\omega_1} a_{10} a_{20}^2 + \frac{(\bar{F}_{11})^2 a_{10}}{8\omega_1 [\omega_1^2 - (\omega_1 + \Omega_1)^2]} + \frac{(\bar{F}_{11})^2 a_{10}}{8\omega_1 [\omega_1^2 - (\omega_1 - \Omega_1)^2]} + \frac{\bar{F}_{12}^P \bar{F}_{22}^P a_{10}}{8\omega_1 [\omega_2^2 - (\omega_1 + \Omega_1)^2]} + \frac{\bar{F}_{12}^P \bar{F}_{22}^P a_{10}}{8\omega_1 [\omega_2^2 - (\omega_1 - \Omega_1)^2]} - \frac{d_{12}}{8\omega_1} a_{20} a_{10}^2 \cos(\delta_2) + \frac{q_{z1}}{2\omega_1} \cos(\delta_1) \\ (\delta'_2 - 3\delta'_1) a_{20} = (\sigma_2 - 3\sigma_1) a_{20} + \frac{3}{8\omega_2} d_{21} a_{20}^3 + \frac{d_{23}}{4\omega_2} a_{20} a_{10}^2 - \frac{a_{20} (\bar{F}_{21})^2}{8\omega_2 [\omega_2^2 - (\omega_2 + \Omega_1)^2]} - \frac{a_{20} (\bar{F}_{21})^2}{8\omega_2 [\omega_2^2 - (\omega_2 - \Omega_1)^2]} - \frac{\bar{F}_{22}^P \bar{F}_{12}^P a_{20}}{8\omega_2 [\omega_1^2 - (\omega_2 + \Omega_1)^2]} + \frac{d_{24}}{8\omega_2} a_{10}^3 \cos(\delta_2) \quad (37)$$

در معادلات قبل a_{i0} و b_{i0} بترتیب دامنه‌ها و فازهای حالت ماندگار می‌باشند. همچنین δ_1 و δ_2 فازهای جدید می‌باشند که به صورت $\delta_1 = \sigma_1 T_2 - b_{10} + \tau_1$ و $\delta_2 = b_{20} - 3b_{10} + \sigma_2 T_2$ تعریف شده‌اند. معادلات (۳۷) معادلات خودمختار می‌باشند و در حالت

جدول ۱: خواص مواد نانوکامپوزیت و پیزوالکتریک

Table 1. The material properties of nanocomposite and piezoelectric

نanolوله کربنی تک دیواره [۳۸] (۳۰۰ K)	ماده زمینه [۳۸] PmPv	پیزوالکتریک [۴] PZT-5A	پارامترها
۱۴۰۰	۱۱۵۰	۷۶۰۰	ρ (kg / m ³)
۵۶۴۶/۶	۲/۱	۶۳	E_{11} (GPa)
۷۰۸۰	۲/۱	۶۳	E_{22} (GPa)
۷۰۸۰	۲/۱	۶۳	E_{33} (GPa)
۱۹۴۴/۵	۰/۷۸۳۶	۲۴/۲۳	G_{12} (GPa)
۱۹۴۴/۵	۰/۷۸۳۶	۲۴/۲۳	G_{13} (GPa)
۱۹۴۴/۵	۰/۷۸۳۶	۲۴/۲۳	G_{23} (GPa)
۰/۱۷۵	۰/۳۴	۰/۳	ν_{12}
۰/۱۷۵	۰/۳۴	۰/۳	ν_{13}
۰/۱۷۵	۰/۳۴	۰/۳	ν_{23}
.	.	۱۷/۶	e_{31} (C / m ²)
.	.	۱۷/۶	e_{32} (C / m ²)
۲۰۰۰	۱۰	۱۷۲۸	d_{11} / d_0 (F / m)*
۲۰۰۰	۱۰	۱۷۲۸	d_{22} / d_0 (F / m)
۲۰۰۰	۱۰	۱۶۹۴	d_{33} / d_0 (F / m)

ضریب نفوذ پذیری دی الکتریک در فضای آزاد می باشد.

جدول ۲: مقایسه فرکانس طبیعی خطی بی بعد $\omega L_x^2 / 2\pi(\rho H / D)^{0.5}$ یک صفحه ذوزنقه‌ای همسانگرد یکسرگیردار با مدل حاضر

Table 2. Comparison of the linear non-dimensional frequency $\omega L_x^2 / 2\pi(\rho H / D)^{0.5}$ of a cantilever isotropic trapezoidal plate

منابع					
خطای نسبی %	نرمافزار آباکوس	مدل حاضر	[۲۴] لیو و لم	C / L_x	
۰/۹۱~	۰/۵۵۴۵	۰/۵۵۹۶	۰/۵۵	۱	
۱/۴۵~	۰/۵۶۹۳	۰/۵۶۱۰	---	۰/۹	
۳/۳۵~	۰/۵۹۱۵	۰/۵۷۰۲	۰/۵۹	۰/۸	

در مثالی دیگر، منحنی پاسخ فرکانسی تشیدید اولیه مد اول در شکل ۳ ارائه شده است. شکل ۳ منحنی تغییرات پارامتر بی بعد دامنه a_{10} ، بر حسب نسبت فرکانس تحریک خارجی

می باشد. می توان مشاهده کرد که نتایج بدست آمده از مدل حاضر برای نسبت های مختلف C / L_x در مقایسه با حل عددی و شبیه سازی آباکوس خطای قابل قبولی دارد.

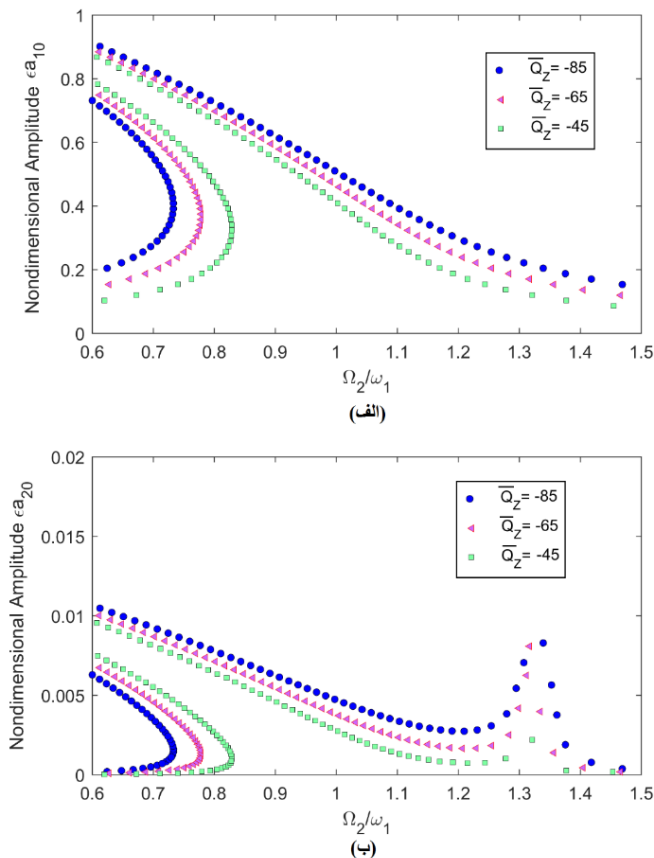


Fig. 4. Effect of amplitude of external excitation on frequency-response curves of the plate in the presence of aerodynamic load, parametric and external excitations, (a) mode (1, 1), (b) mode (2, 2)

شکل ۴: اثر دامنه تحريك خارجي بر منحنی های پاسخ فرکانسی صفحه در حضور بار آيروديناميکي، تحريک های پارامتريک و خارجي. (الف) مد (۱، ۱)، (ب) مد (۲، ۲)

عملگر ذوزنقه‌ای پرداخته می‌شود. با تغيير ولتاژ DC و محاسبه فرکانس‌های هر دو مد، مشاهده می‌شود هنگامیکه $V_D = ۱۴$ V قرار داده شود تشديد داخلی $۱:۳$ رخ می‌دهد. شکل ۴ (الف) و (ب) منحنی های پاسخ فرکانسی صفحه را به ازاي دامنه های مختلف تحريك خارجي (-45 ، -65 ، -85)، در حضور بار آيروديناميکي و تحريک پارامتريک نشان می‌دهد. پارامترهای مختلف، $C/L_x = ۰/۸$ ، $\rho_\infty = ۱/۲۲۵ \text{ kg/m}^3$ ، $U_\infty = ۲۵ \text{ m/s}$ به صورت ($V_D = ۱۴ \text{ V}$ ، $\Omega_1 = ۰/۴\omega_1$ ، $V_{CN} = ۰/۱۱$ ، $h_p/h = ۰/۱$ ، $L/L_x = ۲$ ، $\Omega_2 = ۳\omega_1$ ، $\Omega_3 = \omega_1$ ، $V_A = ۳ \text{ V}$ ، $R_f = ۱ \text{ k}\Omega$) درنظر گرفته شده‌اند. با توجه به شکل ۴ مشاهده می‌شود سيسیتم با پارامترهای در نظر گرفته شده رفتار نرم‌شوندگی از خود نشان می‌دهد. بعلاوه می‌توان دید با افزایش دامنه تحريك خارجي عرضي سيسیتم رفتار غيرخطی تری از خود

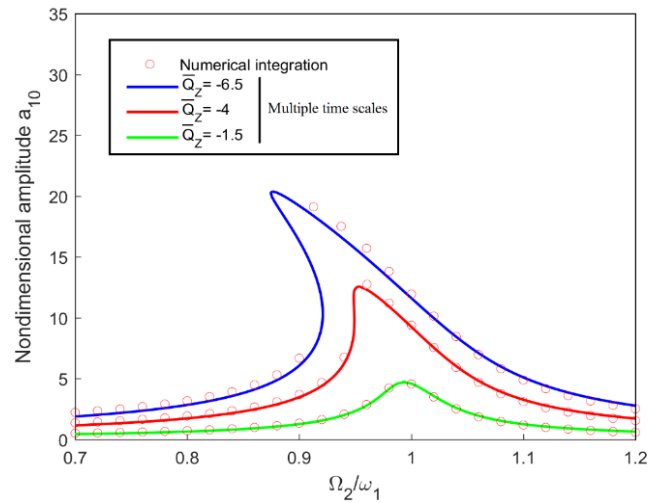


Fig. 3. Comparison of frequency-response curves of mode (1, 1) for the primary resonances using Multiple time scales and numerical integration

شکل ۳: مقایسه منحنی های پاسخ فرکانسی مد اول (۱، ۱) در حالت تشديد اولیه با استفاده از دو روش مقیاس های چندگانه و انتگرال عددی

به فرکانس طبیعی مد اول ω_1/Ω_2 صفحه لایه‌ای پیزوالکتریک نانوکامپوزیت یکسر گیردار ذوزنقه‌ای در معرض جریان مادون صوت ($\rho_\infty = ۱/۲۲۵ \text{ kg/m}^3$ ، $U_\infty = ۲۵ \text{ m/s}$ به ازای مقادیر مختلف پارامتر بی بعد دامنه تحريك خارجي را نشان می‌دهد.

در شرایطی که فرکانس طبیعی بی بعد مد اول برابر ($\omega_1 = ۰/۰۹$) و پارامتر کوچک اختشاشی برابر ($\varepsilon = ۰/۱۷$) و همچنین فرکانس تحريك در نزدیکی فرکانس مد اول ($\Omega_2 = \omega_1 = ۰/۱$) در نظر گرفته شده‌اند. منحنی پاسخ فرکانسی شکل ۳ با بکارگیری دو روش مقیاس های زمانی چندگانه (رابطه ۳۷) و انتگرال گیری عددی از روابط (۲۶) حاصل شده است. خواص مواد پیزوالکتریک و نانوکامپوزیت در جدول ۱ لیست شده‌اند و ضریب کسر حجمی نانولوله‌های کربنی ($V_{CN} = ۰/۱۱$ m) می‌باشد. ابعاد صفحه مورد بررسی به صورت ($L = ۱۰ \text{ mm}$ ، $h_p/h = ۰/۱$ ، $L/L_x = ۲$ ، $C/L_x = ۰/۸$ m) می‌باشند. بعلاوه ولتاژهای ورودی برابر صفر در نظر گرفته شده‌اند ($V_D = V_A = ۰$). همانطور که مشاهده می‌شود توافق خوبی بین دو روش برقرار است که صحت روابط مربوط به روش مقیاس های چندگانه را تأیید می‌کند.

در ادامه با در نظر گرفتن تشديد داخلی سه به يك بين دو مد مفروض و تحريک های همزمان الکتریکی و مکانیکی به تحلیل رفتار

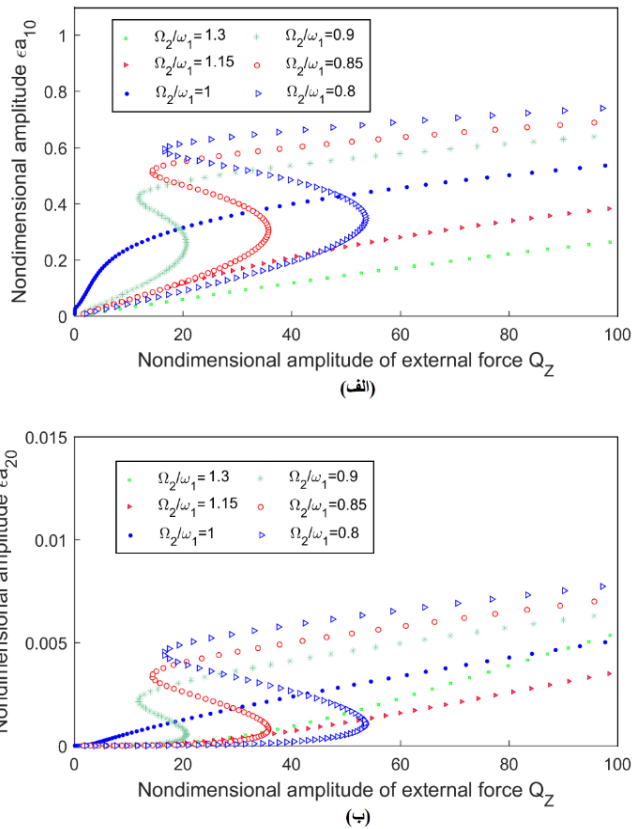


Fig. 6. Figure 6. Amplitude of response of (a) mode (1, 1), (b) mode (2, 2), versus amplitude of the external excitation for several frequency ratios in the presence of aerodynamic load, parametric excitation

شکل ۶: پاسخ دامنه‌ی (الف) مد (۱، ۱)، (ب) مد (۲، ۲) بر حسب دامنه تحریک خارجی به ازای نسبت‌های مختلف فرکانسی در حضور بار آبرودینامیک و تحریک پارامتریک

آمدن تشیددهای داخلی تبادل انرژی بین مدهای مختلف می‌باشد. زمانیکه نسبت یا رابطه‌ی خاصی بین دو فرکانس طبیعی خطی بوجود می‌آید پاسخ‌های غیرخطی با دامنه‌ی بالا اتفاق می‌افتد. اثر سرعت جریان هوا ($U_\infty = 25 \text{ m/s}$, 65 m/s , 85 m/s) بر منحنی‌های پاسخ فرکانسی صفحه‌ی ذوزنقه‌ای لایه‌ای در حضور تحریک‌های پارامتریک و خارجی در شکل ۵ (الف) و (ب) به ازای $h_p/h = 0.1$, $L/L_x = 2$, $C/L_x = 0.8$, $\rho_\infty = 1/225 \text{ kg/m}^3$ ($\Omega_2 \approx \omega_1$, $V_A = 3 \text{ V}$, $V_D = 14 \text{ V}$, $V_{CN} = 0.11$, $\omega_r = 3\omega_1$, $\omega_r = -50$, $\bar{Q}_z = -50$) مورد بررسی قرار گرفته شد. با توجه به منحنی‌های پاسخ فرکانسی در شکل ۵ مشاهده می‌شود و بیشینه دامنه سرعت جریان بازه دامنه‌ی ارتعاشات محدود می‌شود و بیشینه دامنه ارتعاشات کم شده در نتیجه رفتار غیرخطی کاهش می‌یابد. همچنین

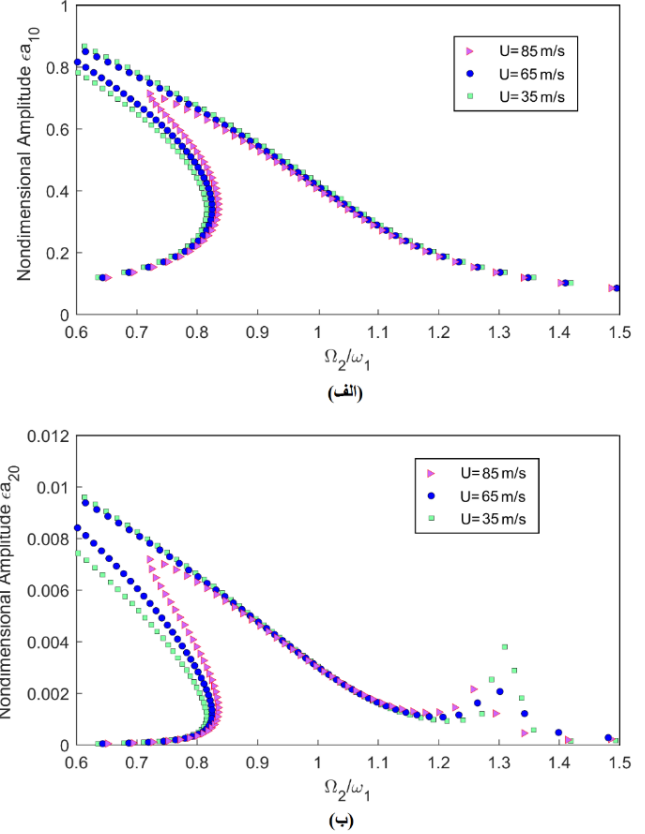


Fig. 5. Effect of different flow velocities on frequency-response curves of the plate in the presence of aerodynamic load, parametric and external excitations, (a) mode (1,1), (b) mode (2,2)

شکل ۵: اثر سرعت‌های مختلف جریان بر منحنی‌های پاسخ فرکانسی صفحه ذوزنقه‌ای در حضور جریان، تحریک‌های پارامتریک و خارجی (الف) مد (۱)، (ب) مد (۲)

نشان می‌دهد.

در شکل ۴ (ب) نوعی رفتار غیرخطی نرم‌شوندگی پیچیده‌ای با دو قله در مد بالاتر مشاهده می‌شود. این نوع از رفتار غیرخطی بدليل وجود تشیدد داخلی بین مدهای مفروض می‌باشد. قله اول از پاسخ فرکانسی شکل ۴ (ب) زمانی ظاهر می‌شود که فرکانس تحریک در نزدیکی فرکانس طبیعی مد اول باشد در حالیکه قله دوم زمانیکه $\Omega_r = 1/32\omega_1$ باشد ظاهر می‌شود. همچنین مشاهده می‌شود اولین قله رفتار نرم شوندگی قوی از خود نشان می‌دهد در حالیکه قله دوم که در نتیجه‌ی تحریک بالای خارجی بوجود می‌آید، را از خود نشان می‌دهد. این رفتار به دلیل حضور برهم‌کنش‌های مودال در سیستم‌های دینامیک غیرخطی پدیدار می‌شود. یکی از دلایل بوجود

نایدار و دو شاخه دیگر پایدار می‌باشند. زمانیکه دو پاسخ پایدار در حل حالت ماندگار وجود دارد، شرایط اولیه مشخص می‌کند کدامیک از پاسخ‌ها، پاسخ واقعی سیستم می‌باشد. با توجه به این نکته می‌توان نتیجه گرفت که حل حالت پایدار سیستم‌های غیرخطی برخلاف سیستم‌های خطی وابسته به شرایط اولیه سیستم می‌باشند. همچنین با توجه به منحنی‌های شکل ۶ این نکته قابل توجه است که رفتار منحنی به ازای $\Omega_r = 1/3\omega_r$ در شکل ۶ (الف) با رفتار آنها در شکل ۶ (ب) تفاوت دارد. این اختلاف بدلیل حضور تشدید داخلی $1:3$ و رفتار غیرخطی پیچیده با دو قله برای مد بالاتر می‌باشد.

($V_A = 14$ V, 15 V, 16 V) همچنین اثر دامنه تحریک پارامتریک ($V_A = 14$ V, 15 V, 16 V) بر پاسخ‌های زمانی دو مد ارتعاشی صفحه ذوزنقه‌ای با استفاده از $w_1 = w_2 = \omega_r = \omega_1 = \omega_2 = 0$ ، $\dot{w}_1 = \dot{w}_2 = \tau_1 = \tau_2 = 0$ و پارامترهای ($U_\infty = 25$ m/s, $h_p/h = 0/1$, $L/L_x = 2$, $C/L_x = 0/1$, $\rho_\infty = 1/225$ kg/m³, $\Omega_r = 1/4\omega_r$, $V_D = 14$ V, $\Omega_1 = 0/4\omega_1$, $V_{CN} = 0/11$, $\bar{Q}_z = -10$) بررسی شد. همانطور که در شکل ۷ مشاهده می‌شود هنگامیکه ولتاژ AC ورودی برابر V می‌شود، دامنه پاسخ مدها به صورت نمایی افزایش می‌یابد و نوسانات بیکران اتفاق می‌افتد و بنابراین نایداری دینامیکی رخ می‌دهد. دلیل نایداری این است که بر طبق رابطه (۲۶) با افزایش دامنه تحریک پارامتریک سختی دینامیکی سیستم تغییر می‌کند.

در شکل‌های ۸ و ۹ اثر فرکانس تحریک پارامتریک بر پاسخ زمانی دو مد ارتعاشی به ازای ($\Omega_r = 0.85$ rad/s, $V_A = 16$ V), ($\Omega_r = 1.0$ rad/s, $V_A = 15$ V)، شرایط اولیه ($w_1 = w_2 = 0$), ($U_\infty = 25$ m/s, $h_p/h = 0/1$, $L/L_x = 2$, $C/L_x = 0/1$, $\rho_\infty = 1/225$ kg/m³, $\Omega_r = 1/4\omega_r$, $\omega_1 = 3\omega_r$, $V_A = 14$ V, $V_D = 14$ V, $V_{CN} = 0/11$, $\bar{Q}_z = -10$) مورد بررسی قرار گرفت.

۱۰- نتیجه‌گیری

در مقاله حاضر، مدل تئوری غیرخطی از یک عملگر ذوزنقه‌ی نازک یکسرگیردار با یک لایه نانوکامپوزیت و دو لایه پیزوالکتریک در بالا و پایین آن، در معرض جریان مادون‌صوت و تحت تحریک‌های همزمان پارامتریک و خارجی ارائه گردید. از تئوری پتانسیل جریان

در شکل ۵ (ب) مشاهده می‌شود به ازای سرعت‌های بالای جریان هوا اثر تشدید داخلی هم کاهش می‌یابد. دلیل این رفتار این است که با افزایش سرعت جریان هوا ضریب میرابی سیستم افزایش می‌یابد و با توجه به منحنی‌ها مشاهده می‌شود که افزایش این ضریب مستقیماً بر دامنه ارتعاشات صفحه اثر می‌گذارد.

شکل ۶ (الف) و (ب) تغییرات پاسخ دامنه‌های دو مد ارتعاشی بر حسب دامنه تحریک خارجی و به ازای نسبت‌های مختلف فرکانس تحریک به فرکانس خطی صفحه، در حضور بار آبرودینامیک و تحریک پارامتریک را برای ($U_\infty = 35$ m/s, $\rho_\infty = 1/225$ kg/m³, $V_{CN} = 0/11$, $h_p/h = 0/1$, $L/L_x = 2$, $C/L_x = 0/1$, $\omega_r = 3\omega_1$, $V_A = 3$ V, $V_D = 14$ V, $\Omega_1 = 0/4\omega_1$) نشان می‌دهد. واضح است که بسته به مقدار Ω_1/ω_r ، تعدادی از منحنی‌ها تک‌مقداره هستند در حالیکه سایر آنها چند مقداره می‌باشند که منجر به پدیده پرش می‌شود. در منحنی‌های چندمقداره شاخه میانی

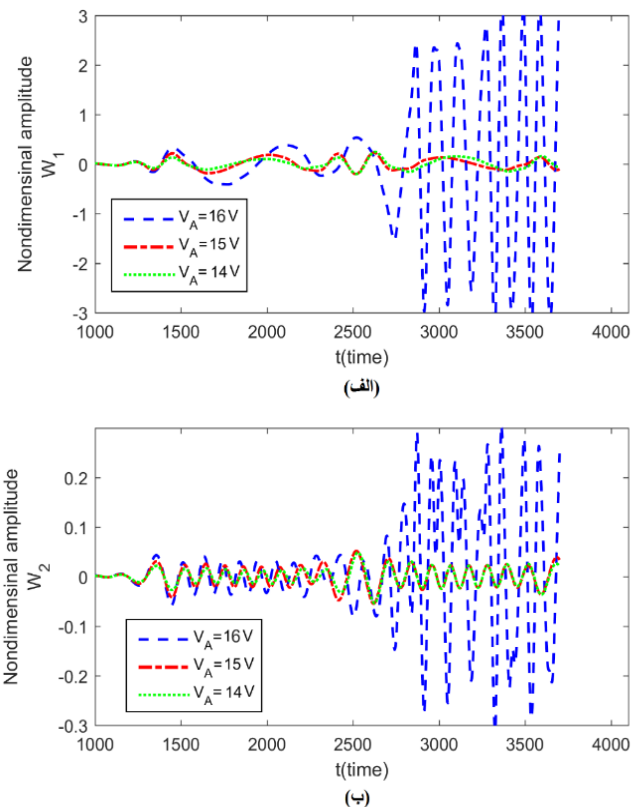


Fig. 7. Figure 7. Effect of the amplitude of electrical excitation on time response of (a) mode (1, 1), (b) mode (2, 2)

شکل ۷: اثر دامنه تحریک الکتریکی بر پاسخ زمانی (الف) مد (۱, ۱)، (ب) مد (۲, ۲)

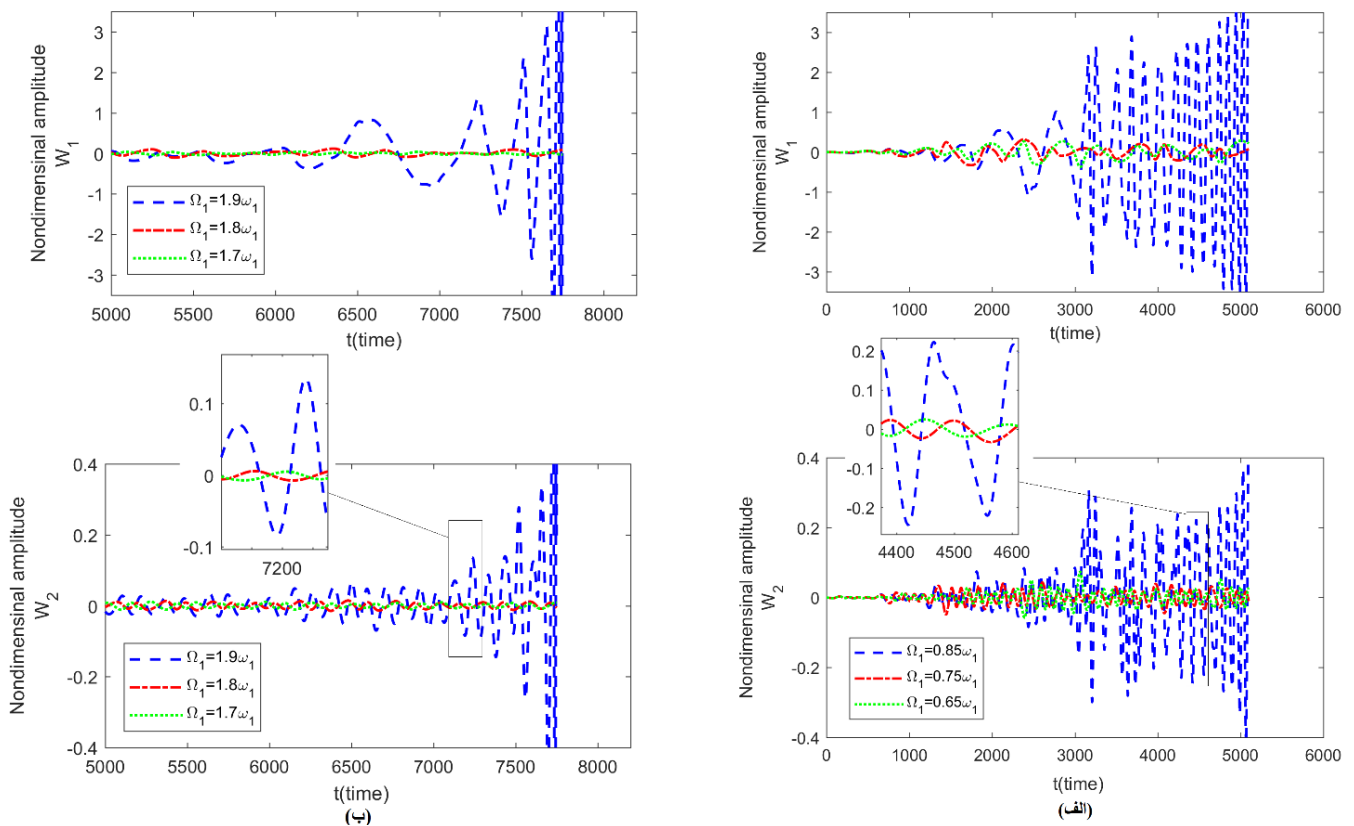


Fig. 8. Effect of the frequency of the electrical excitation on time responses of mode (1, 1) and mode (2, 2) for the case (a) frequency of parametric excitation is near fundamental frequency (b) near two times of fundamental frequency

شکل ۸. اثر فرکانس تحریک پارامتریک بر پاسخ زمانی مد (۱، ۱) و مد (۲، ۲)، (الف) در نزدیکی فرکانس اساسی مد اول (ب) در نزدیکی دو برابر فرکانس اساسی مد اول

- سیستم رفتار غیرخطی نرم‌شوندگی از خود نشان می‌دهد. با توجه به منحنی‌های پاسخ فرکانسی دو قله در مد بالاتر مشاهده می‌شود. اولین قله با رفتار نرم‌شوندگی قوی، در فرکانسی نزدیک به فرکانس طبیعی مد اول سیستم اتفاق می‌افتد در حالیکه قله دوم زمانیکه $\Omega_e = 1/32\omega_1$ باشد ظاهر می‌شود. قله دوم رفتار سخت‌شوندگی ضعیفی را در دامنه‌های بالای ارتعاشات که در نتیجه‌ی تحریک بالای خارجی بوجود می‌آید، از خود نشان می‌دهد. دلیل این امر تشدید داخلی می‌باشد که به دلیل تداخل مodal در دو مد ارتعاشی به وجود آمده است.

- سرعت جریان هوا و دامنه‌ی تحریک خارجی اثر مهمی بر دامنه ارتعاشات صفحه ذوزنقه‌ای دارد. با افزایش سرعت جریان مادون صوت، دامنه ارتعاشات کاهش می‌یابد و همچنین از اثرات غیرخطی سیستم کاسته می‌شود. در صورتی که با افزایش دامنه‌ی تحریک خارجی دامنه ارتعاشات افزایش می‌یابد.

خطی برای مدل کردن فشار آبروودینامیک وارد بر صفحه استفاده شد. معادلات حرکت با کمک تئوری کلاسیک صفحه و جایجاپی‌های بزرگ ون کارمن و با استفاده از اصل همیلتون مدل گردید. در ادامه هندسه صفحه ذوزنقه‌ای به مختصات محاسباتی انتقال داده شد و روش گلرکین برای تبدیل معادلات دیفرانسیل پاره‌ای غیرخطی به معادلات دیفرانسیل معمولی با دو درجه آزادی و ترم‌های غیرخطی مرتبه سه بکار گرفته شد. با تغییر ولتاژ DC، تشدید داخلی ۱:۳ بین دو مرؤیت گردید و سپس با فرض تشدید اولیه و تشدید داخلی ۱:۳، از روش مقیاس‌های چندگانه برای حل تقریبی معادلات دیفرانسیل غیرخطی جفت شده استفاده شد و در نتیجه آن منحنی‌های پاسخ فرکانسی عملگر ذوزنقه‌ای ترسیم گردید. در ادامه اثرات دامنه و فرکانس تحریک پارامتریک بر ناپایداری دینامیکی سیستم، مورد بررسی و بحث قرار گرفت. مهمترین نتایج مقاله را می‌توان به صورت زیر بیان کرد:

69.

- [8] H.-S. Shen, Thermal postbuckling of shear-deformable laminated plates with piezoelectric actuators, Composites science and technology, 61(13) (2001) 1931-1943.
- [9] C. Lim, L. He, A. Soh, Three-dimensional electromechanical responses of a parallel piezoelectric bimorph, International Journal of Solids and Structures, 38(16) (2001) 2833-2849.
- [10] C. Lim, L. He, Exact solution of a compositionally graded piezoelectric layer under uniform stretch, bending and twisting, International Journal of Mechanical Sciences, 43(11) (2001) 2479-2492.
- [11] M. Donadon, S.d. Almeida, A. De Faria, Stiffening effects on the natural frequencies of laminated plates with piezoelectric actuators, Composites Part B: Engineering, 33(5) (2002) 335-342.
- [12] G. Liu, K. Dai, K. Lim, Static and vibration control of composite laminates integrated with piezoelectric sensors and actuators using the radial point interpolation method, Smart materials and structures, 13(6) (2004) 1438.
- [13] C. Lim, C. Lau, A new two-dimensional model for electro-mechanical response of thick laminated piezoelectric actuator, International journal of solids and structures, 42(20) (2005) 5589-5611.
- [14] F. Heidary, M.R. Eslami, Piezo-control of forced vibrations of a thermoelastic composite plate, Composite structures, 74(1) (2006) 99-105.
- [15] A. Fernandes, J. Pouget, Structural response of composite plates equipped with piezoelectric actuators, Computers & structures, 84(22-23) (2006) 1459-1470.
- [16] Z.K. Kusuluoglu, T.J. Royston, Nonlinear modeling of composite plates with piezoceramic layers using finite element analysis, Journal of Sound and Vibration, 315(4-5) (2008) 911-926.
- [17] W. Zhang, Z. Yao, M. Yao, Periodic and chaotic dynamics of composite laminated piezoelectric rectangular plate with one-to-two internal resonance, Science in China Series E: Technological Sciences, 52(3) (2009) 731-742.
- [18] M. Yao, W. Zhang, Multi-pulse chaotic motions of high-dimension nonlinear system for a laminated composite piezoelectric rectangular plate, Meccanica, 49(2) (2014) 365-392.

- دامنه ارتعاشات صفحه بر حسب نسبت فرکانسی مد اول بر فرکانس تحریک خارجی و به ازای دامنه‌های مختلف تحریک بررسی گردید و مشاهده شد به ازای مقادیری از دامنه‌های تحریک و نسبت‌های فرکانسی سیستم چندمقداره می‌باشد و پدیده پرش در سیستم اتفاق می‌افتد.

- دامنه و فرکانس تحریک الکتریکی اثر مهمی بر پایداری دینامیکی سیستم می‌گذارد. در شرایط ذکر شده با افزایش دامنه تحریک پارامتریک تا ۱۶ ولت و با نزدیکی فرکانس تحریک الکتریکی به فرکانس اساسی و همچنین با نزدیکی به دو برابر فرکانس اساسی مد اول سیستم، دامنه ارتعاشات از حالت کراندار خارج شده و سیستم ناپایدار می‌گردد.

مراجع

- [1] H.-S. Shen, Nonlinear bending of functionally graded carbon nanotube-reinforced composite plates in thermal environments, Composite Structures, 91(1) (2009) 9-19.
- [2] A. Shooshtari, M. Rafiee, Vibration characteristics of nanocomposite plates under thermal conditions including nonlinear effects, Int J Appl Res Mech Eng, 1(1) (2011) 60-69.
- [3] Z.-X. Wang, H.-S. Shen, Nonlinear vibration and bending of sandwich plates with nanotube-reinforced composite face sheets, Composites Part B: Engineering, 43(2) (2012) 411-421.
- [4] M. Rafiee, X. He, K. Liew, Non-linear dynamic stability of piezoelectric functionally graded carbon nanotube-reinforced composite plates with initial geometric imperfection, International Journal of Non-Linear Mechanics, 59 (2014) 37-51.
- [5] R. Kolahchi, M. Safari, M. Esmailpour, Dynamic stability analysis of temperature-dependent functionally graded CNT-reinforced visco-plates resting on orthotropic elastomeric medium, Composite Structures, 150 (2016) 255-265.
- [6] X. Guo, W. Zhang, Nonlinear vibrations of a reinforced composite plate with carbon nanotubes, Composite Structures, 135 (2016) 96-108.
- [7] M. Krommer, H. Irschik, A Reissner-Mindlin-type plate theory including the direct piezoelectric and the pyroelectric effect, Acta Mechanica, 141(1-2) (2000) 51-

- analysis of trapezoidal plates, *International Journal of Mechanical Sciences*, 52(12) (2010) 1588-1596.
- [30] M. Zamani, A. Fallah, M. Aghdam, Free vibration analysis of moderately thick trapezoidal symmetrically laminated plates with various combinations of boundary conditions, *European Journal of Mechanics-A/Solids*, 36 (2012) 204-212.
- [31] P. Malekzadeh, A. Zarei, Free vibration of quadrilateral laminated plates with carbon nanotube reinforced composite layers, *Thin-Walled Structures*, 82 (2014) 221-232.
- [32] K. Torabi, H. Afshari, F.H. Aboutalebi, Vibration and flutter analyses of cantilever trapezoidal honeycomb sandwich plates, *Journal of Sandwich Structures & Materials*, 21(8) (2019) 2887-2920.
- [33] W. Tian, Z. Yang, Y. Gu, X. Wang, Analysis of nonlinear aeroelastic characteristics of a trapezoidal wing in hypersonic flow, *Nonlinear Dynamics*, 89(2) (2017) 1205-1232.
- [34] W. Tian, Z. Yang, T. Zhao, Analysis of Nonlinear Vibrations and Dynamic Responses in a Trapezoidal Cantilever Plate Using the Rayleigh-Ritz Approach Combined with the Affine Transformation, *Mathematical Problems in Engineering*, 2019(1) (2019) 1-23.
- [35] F. Bakhtiari-Nejad, M. Noroozi, Nonlinear Vibrations of Piezoelectric Carbon Nanotube-Reinforced Composite Trapezoidal Actuator Under Strong Electric Field, in: ASME 2017 International Mechanical Engineering Congress and Exposition, American Society of Mechanical Engineers, 2017, pp. V04BT05A039-V004BT005A039.
- [36] J.N. Reddy, Mechanics of laminated composite plates and shells: theory and analysis, CRC press, 2003.
- [37] R.L. Bisplinghoff, H. Ashley, R.L. Halfman, Aeroelasticity, Courier Corporation, 2013.
- [38] P. Zhu, Z. Lei, K.M. Liew, Static and free vibration analyses of carbon nanotube-reinforced composite plates using finite element method with first order shear deformation plate theory, *Composite Structures*, 94(4) (2012) 1450-1460.
- [19] M. Saviz, An optimal approach to active damping of nonlinear vibrations in composite plates using piezoelectric patches, *Smart Materials and Structures*, 24(11) (2015) 115024.
- [20] Y. Li, E.s. Pan, Static bending and free vibration of a functionally graded piezoelectric microplate based on the modified couple-stress theory, *International Journal of Engineering Science*, 97 (2015) 40-59.
- [21] Y. Zhang, W. Zhang, Z. Yao, Analysis on nonlinear vibrations near internal resonances of a composite laminated piezoelectric rectangular plate, *Engineering Structures*, 173 (2018) 89-106.
- [22] K. Khorshidi, M. Karimi, Flutter analysis of sandwich plates with functionally graded face sheets in thermal environment, *Aerospace Science and Technology*, 95 (2019) 105461.
- [23] R. Srinivasan, B. Babu, Free vibration of cantilever quadrilateral plates, *The Journal of the Acoustical Society of America*, 73(3) (1983) 851-855.
- [24] K. Liew, K. Lam, A Rayleigh-Ritz approach to transverse vibration of isotropic and anisotropic trapezoidal plates using orthogonal plate functions, *International Journal of Solids and Structures*, 27(2) (1991) 189-203.
- [25] K. Liew, Y. Xiang, S. Kitipornchai, Transverse vibration of thick rectangular plates—I. Comprehensive sets of boundary conditions, *Computers & structures*, 49(1) (1993) 1-29.
- [26] S. Kitipornchai, Y. Xiang, K. Liew, M. Lim, A global approach for vibration of thick trapezoidal plates, *Computers & structures*, 53(1) (1994) 83-92.
- [27] C. Chen, S. Kitipornchai, C. Lim, K. Liew, Free vibration of cantilevered symmetrically laminated thick trapezoidal plates, *International Journal of Mechanical Sciences*, 41(6) (1999) 685-702.
- [28] S. Shokrollahi, F. Bakhtiari-Nejad, Limit cycle oscillations of swept-back trapezoidal wings at low subsonic flow, *Journal of aircraft*, 41(4) (2004) 948-953.
- [29] I. Shufrin, O. Rabinovitch, M. Eisenberger, A semi-analytical approach for the geometrically nonlinear

پیوست الف

توابع روابط (۱۹) به شرح زیر می‌باشند:

$$F_{11}(u_0) = (A_{11} \left(\frac{J_{22}^2}{J} \right) + A_{33} \left(\frac{J_{21}^2}{J} \right)) u_{0,\xi\xi} + A_{33} \left(\frac{-2J_{11}J_{21}}{J} \right) u_{0,\xi\eta} + A_{33} \left(\frac{J_{11}^2}{J} \right) u_{0,\eta\eta} + A_{33} \left(\frac{2J_{21}J_{21,\xi}}{J^2} \right) u_{0,\xi} \quad (۱-۱)$$

$$F_{12}(v_0) = (A_{12} + A_{33}) \left(\frac{-J_{22}J_{21}}{J} \right) v_{0,\xi\xi} + (A_{12} + A_{33}) v_{0,\xi\eta} + (A_{12} + A_{33}) \left(\frac{-J_{22}J_{21,\xi}}{J} \right) v_{0,\xi} \quad (۲-۱)$$

$$\begin{aligned} \tilde{F}_1(w_0) = & ((A_{12} + 2A_{33}) \left(\frac{J_{22}J_{21}^2}{J^2} \right) + A_{11} \left(\frac{J_{22}^3}{J^2} \right)) w_{0,\xi} w_{0,\xi\xi} + (A_{12} + 3A_{33}) \left(\frac{J_{22}J_{21}J_{21,\xi}}{J^2} \right) w_{0,\xi}^2 + \\ & ((A_{33} + A_{12}) \left(\frac{J_{11}}{J} \right)) w_{0,\eta} w_{0,\xi\eta} + ((A_{12} + 3A_{33}) \left(\frac{-J_{21}}{J} \right)) w_{0,\xi} w_{0,\xi\eta} + ((A_{12} + A_{33}) \left(\frac{-J_{21}}{J} \right)) w_{0,\eta} w_{0,\xi\xi} \\ & + (A_{12} + A_{33}) \left(\frac{-J_{21,\xi}}{J} \right) w_{0,\xi} w_{0,\eta} + A_{33} \left(\frac{J_{11}}{J} \right) w_{0,\xi} w_{0,\eta\eta} \end{aligned} \quad (۳-۱)$$

$$\hat{F}(u_0) = Jii_0 \quad (۴-۱)$$

$$F_{21}(u_0) = (A_{12} + A_{33}) \left(\frac{-J_{22}J_{21}}{J} \right) u_{0,\xi\xi} + (A_{12} + A_{33}) u_{0,\xi\eta} + (A_{12} + A_{33}) \left(\frac{-J_{22}J_{21,\xi}}{J} \right) u_{0,\xi} \quad (۱-۲)$$

$$F_{22}(v_0) = (A_{22} \left(\frac{J_{21}^2}{J} \right) + A_{33} \left(\frac{J_{22}^2}{J} \right)) v_{0,\xi\xi} + A_{22} \left(\frac{-2J_{11}J_{21}}{J} \right) v_{0,\xi\eta} + A_{22} \left(\frac{J_{11}^2}{J} \right) v_{0,\eta\eta} + A_{22} \left(\frac{2J_{21}J_{21,\xi}}{J} \right) v_{0,\xi} \quad (۲-۲)$$

$$\begin{aligned} \tilde{F}_2(w_0) = & ((A_{12} + 2A_{33}) \left(\frac{-J_{21}J_{22}^2}{J^2} \right) + A_{22} \left(\frac{-2J_{21}^3}{J^2} \right)) w_{0,\xi} w_{0,\xi\xi} + \left(\frac{A_{12}}{2} + A_{33} \right) \left(\frac{-J_{21,\xi}J_{22}^2}{J^2} \right) + \frac{A_{22}}{2} \left(\frac{-7J_{21,\xi}J_{21}^2}{J^2} \right) w_{0,\xi}^2 \\ & + A_{22} \left(\frac{-2J_{21}J_{11}^2}{J^2} \right) w_{0,\eta} w_{0,\xi\eta} + \left((A_{12} + A_{33}) \left(\frac{J_{22}}{J} \right) + A_{22} \left(\frac{2J_{11}J_{21}^2}{J^2} \right) \right) w_{0,\xi} w_{0,\xi\eta} + (A_{22} \left(\frac{J_{11}J_{21}^2}{J^2} \right) + A_{33} \left(\frac{J_{22}}{J} \right)) w_{0,\eta} w_{0,\xi\xi} \\ & + A_{22} \left(\frac{2J_{11}J_{21}J_{21,\xi}}{J^2} \right) w_{0,\xi} w_{0,\eta} + A_{22} \left(\frac{-J_{21}J_{11}^2}{J^2} \right) w_{0,\xi} w_{0,\eta\eta} + A_{22} \left(\frac{J_{11}^3}{J^2} \right) w_{0,\eta} w_{0,\eta\eta} \end{aligned} \quad (۳-۲)$$

$$\hat{F}(v_0) = Jiv_0 \quad (۴-۲)$$

$$\begin{aligned} F_{34}(w_0) = & (D \left(\frac{-J_{22}^4}{J^3} \right) + 2(D + 2D) \left(\frac{-J_{22}^2J_{21}^2}{J^3} \right) + D \left(\frac{-J_{21}^4}{J^3} \right)) w_{0,\xi\xi\xi\xi} + (2(D + 2D) \left(\frac{-1}{J} \right) + \\ & 6D_{22} \left(\frac{-J_{11}^2J_{21}^2}{J^3} \right) w_{0,\xi\xi\eta\eta} + D_{22} \left(\frac{-J_{11}^4}{J^3} \right) w_{0,\eta\eta\eta\eta} + (4(D_{12} + 2D_{33}) \left(\frac{J_{21}J_{22}}{J^2} \right) + 4D_{22} \left(\frac{J_{11}J_{21}^3}{J^3} \right)) w_{0,\xi\xi\xi\eta} + \\ & 2D_{22} \left(\frac{J_{21}J_{11}^3}{J^3} \right) w_{0,\xi\eta\eta\eta} + (12(D_{12} + 2D_{33}) \left(\frac{-J_{21}J_{22}^2J_{21,\xi}}{J^3} \right) + 12D_{22} \left(\frac{-J_{11,\eta}J_{21}^3}{J^3} \right)) w_{0,\xi\xi\xi\xi} + (8(D_{12} + 2D_{33}) \left(\frac{J_{22}J_{21,\xi}}{J^2} \right) + \\ & 24D_{22} \left(\frac{J_{11}J_{21}^2J_{21,\xi}}{J^3} \right)) w_{0,\xi\xi\eta} + 12D_{22} \left(\frac{-J_{21}J_{11}^2J_{21,\xi}}{J^3} \right) w_{0,\xi\eta\eta} + (14(D_{12} + 2D_{33}) \left(\frac{-J_{22}J_{21,\xi}}{J^3} \right) + 72D_{22} \left(\frac{-J_{21}^2J_{21,\xi}^2}{J^3} \right)) w_{0,\xi\xi\xi\xi} + B_0(\eta) L \rho_\infty U_\infty^2 \left(\frac{J_{21}^2}{J} \right) w_{0,\xi\xi\xi\xi} + \\ & (24D_{22} \left(\frac{J_{21,\xi}^2J_{21}J_{11}}{J^3} \right) - B_0(\eta) L \rho_\infty U_\infty^2 \left(\frac{2J_{21}J_{11}}{J} \right)) w_{0,\xi\eta\eta} + (B_0(\eta) L \rho_\infty U_\infty^2 \left(\frac{J_{11}}{J} \right)) w_{0,\eta\eta\eta} + (24D_{22} \left(\frac{-J_{21,\xi}^3J_{21}}{J^3} \right) + \\ & B_0(\eta) L \rho_\infty U_\infty^2 \left(\frac{2J_{21}J_{21,\xi}}{J} \right)) w_{0,\xi} - \frac{\rho_\infty U_\infty^2}{\pi} \left[-J_{21}w_{0,\xi}(L_y) + J_{11}w_{0,\eta}(L_y) \right] \ln \left(1 - \frac{\eta}{L_y} \right) \end{aligned} \quad (۱-۳)$$

$$F_{34}(w_0) = \left(\frac{J_{22}^2}{J} \right) w_{0,\xi\xi\xi\xi} \quad (۲-۳)$$

$$F_{35}(w_0) = \left(\frac{J_{21}^2}{J} \right) w_{0,\xi\xi} + \left(\frac{-2J_{21}J_{11}}{J} \right) w_{0,\xi\eta} + \left(\frac{J_{11}^2}{J} \right) w_{0,\eta\eta} + \left(\frac{2J_{21}J_{21,\xi}}{J} \right) w_{0,\xi} \quad (3-3)$$

$$\tilde{F}_3(w_0) = (3(2A_{33} + A_{12}) \left(\frac{J_{21}J_{21,\xi}J_{22}^2}{J^3} \right) + 3A_{22} \left(\frac{J_{11,\eta}J_{21}^3}{J^3} \right) w_{0,\xi}^3 + (3(2A_{33} + A_{12}) \left(\frac{J_{22}J_{21}^2}{J^3} \right) + \frac{3}{2}A_{11} \left(\frac{J_{22}^4 + J_{21}^4}{J^3} \right) w_{0,\xi}^2 w_{0,\xi\xi} + \\ (A_{33} + \frac{A_{12}}{2}) \left(\frac{1}{J} \right) + \frac{3}{2}A_{22} \left(\frac{J_{11}^2 J_{21}^2}{J^3} \right) w_{0,\eta}^2 w_{0,\xi\xi} + (2(2A_{33} + A_{12}) \left(\frac{-J_{22}J_{21,\xi}}{J^2} \right) + 6A_{22} \left(\frac{-J_{21}^2 J_{11} J_{21,\xi}}{J^3} \right) w_{0,\xi}^2 w_{0,\eta} + (3(2A_{33} + A_{12}) \left(\frac{-J_{22}J_{21}}{J^2} \right) + 3A_{22} \left(\frac{-J_{21}^3 J_{11}}{J^3} \right) w_{0,\xi}^2 w_{0,\xi\eta} +$$

$$+ (A_{33} + \frac{A_{12}}{2}) \left(\frac{1}{J} \right) + \frac{3}{2}A_{22} \left(\frac{J_{11}^2 J_{21}^2}{J^3} \right) w_{0,\xi}^2 w_{0,\eta\eta} + 3A_{22} \left(\frac{-J_{11}^3 J_{21}}{J^3} \right) w_{0,\eta}^2 w_{0,\xi\eta} + \frac{3}{2}A_{22} \left(\frac{J_{11}^4}{J^3} \right) w_{0,\eta}^2 w_{0,\eta\eta} + 3A_{22} \left(\frac{J_{11}^2 J_{21,\xi} J_{21}}{J^3} \right) w_{0,\eta}^2 w_{0,\xi} + (2(2A_{33} + A_{12}) \left(\frac{1}{J} \right) + \\ 6A_{22} \left(\frac{J_{11}^2 J_{21}^2}{J^3} \right) w_{0,\xi}^2 w_{0,\eta} w_{0,\xi\eta} + (3(2A_{33} + A_{12}) \left(\frac{-J_{22}J_{21}}{J^2} \right) + 3A_{22} \left(\frac{-J_{21}^3 J_{11}}{J^3} \right) w_{0,\xi}^2 w_{0,\eta} w_{0,\xi\xi} + 3A_{22} \left(\frac{-J_{11}^3 J_{21}}{J^3} \right) w_{0,\xi}^2 w_{0,\eta} w_{0,\eta\eta}$$

$$\tilde{F}_4(w_0, u_0) = (5A_{33} + 3A_{12}) \left(\frac{J_{22}J_{21}J_{21,\xi}}{J^2} \right) w_{0,\xi} u_{0,\xi} + ((2A_{33} + A_{12}) \left(\frac{J_{22}J_{21}^2}{J^2} \right) + A_{11} \left(\frac{J_{22}}{J^2} \right) + \\ (A_{33} + A_{12}) \left(\frac{-2J_{21}}{J} \right) w_{0,\xi\xi} u_{0,\xi} + A_{33} \left(\frac{-J_{21}}{J} \right) w_{0,\xi\xi} u_{0,\eta} + (A_{11} \left(\frac{J_{22}}{J^2} \right) + (2A_{33} + A_{12}) \left(\frac{J_{21}^2 J_{22}}{J^2} \right) w_{0,\xi} u_{0,\xi\xi} \\ + (2A_{33} + A_{12}) \left(\frac{-J_{21}}{J} \right) w_{0,\xi} u_{0,\xi\eta} + (A_{33} + A_{12}) \left(\frac{-2J_{21,\xi}}{J} \right) w_{0,\eta} u_{0,\xi} + (A_{33} + A_{12}) \left(\frac{-J_{21}}{J} \right) w_{0,\xi\eta} u_{0,\xi} + \\ (A_{33} + A_{12}) \left(\frac{-2J_{21}}{J} \right) w_{0,\eta} u_{0,\xi\xi} + A_{33} \left(\frac{2J_{11}}{J} \right) w_{0,\xi\eta} u_{0,\eta} + A_{33} \left(\frac{J_{11}}{J} \right) w_{0,\xi} u_{0,\eta\eta} + A_{12} \left(\frac{J_{11}}{J} \right) w_{0,\eta\eta} u_{0,\xi} + \\ (A_{33} + A_{12}) \left(\frac{J_{11}}{J} \right) w_{0,\eta} u_{0,\xi\eta} \quad (5-3)$$

$$\tilde{F}_5(w_0, v_0) = ((2A_{33} + A_{12}) \left(\frac{-J_{22}^2 J_{21}}{J^2} \right) + A_{22} \left(\frac{-J_{21}^3}{J^2} \right) w_{0,\xi\xi} v_{0,\xi} + (A_{12} \left(\frac{J_{22}}{J} \right) + A_{22} \left(\frac{J_{11} J_{21}^2}{J^2} \right) w_{0,\xi\xi} v_{0,\eta} + \\ A_{22} \left(\frac{-J_{11}^2 J_{21}}{J^2} \right) w_{0,\eta\eta} v_{0,\xi} + (A_{22} \left(\frac{-4J_{21,\xi} J_{21}^2}{J^2} \right) + A_{33} \left(\frac{-3J_{22}^2 J_{21,\xi}}{J^2} \right) + A_{12} \left(\frac{-J_{21,\xi} J_{22}^2}{J^2} \right) w_{0,\xi} v_{0,\xi} + \\ A_{22} \left(\frac{J_{11}^3}{J^2} \right) w_{0,\eta\eta} v_{0,\eta} + ((2A_{33} + A_{12}) \left(\frac{-J_{22}^2 J_{21}}{J^2} \right) + A_{22} \left(\frac{-J_{21}^3}{J^2} \right) w_{0,\xi} v_{0,\xi\xi} + ((A_{33} + A_{12}) \left(\frac{J_{22}}{J} \right) + \\ A_{22} \left(\frac{2J_{21}^2 J_{11}}{J^2} \right) w_{0,\xi} v_{0,\xi\eta} + A_{22} \left(\frac{-J_{11}^2 J_{21}}{J^2} \right) w_{0,\xi} v_{0,\eta\eta} + (A_{33} \left(\frac{J_{22}}{J} \right) + A_{22} \left(\frac{J_{21}^2 J_{11}}{J^2} \right) w_{0,\eta} v_{0,\xi\xi} + \\ A_{22} \left(\frac{J_{11}^3}{J^2} \right) w_{0,\eta} v_{0,\eta\eta} + (A_{33} \left(\frac{2J_{22}}{J} \right) + A_{22} \left(\frac{2J_{11} J_{21}^2}{J^2} \right) w_{0,\xi\eta} v_{0,\xi} + A_{22} \left(\frac{-2J_{21} J_{11}^2}{J^2} \right) w_{0,\xi\eta} v_{0,\eta} + A_{22} \left(\frac{-2J_{21} J_{11}^2}{J^2} \right) w_{0,\eta} v_{0,\xi\eta}) \quad (5-3)$$

$$\hat{F}(w_0) = J\ddot{w}_0 \quad (7-3)$$

$$F_{PL1}(w_0) = LB(\eta) \rho_\infty J\ddot{w}_0 \quad (8-3)$$

$$F_{PL2}(w_0) = 2U_\infty \rho_\infty LB(\eta) \left(\frac{\partial}{\partial t} \left(\frac{-J_{21}}{J} w_{0,\xi} + \frac{J_{11}}{J} w_{0,\eta} \right) - \frac{J \rho_\infty U_\infty^2}{\pi} \left[\frac{1}{U_\infty} \dot{w}_0(L_y) \right] L_n \left(1 - \frac{\eta}{L_y} \right) \right) \quad (9-3)$$

پیوست ب

ضرایب رابطه (۲۶) به شرح زیر حاصل می‌شوند:

$$\begin{aligned} \mu_{11} &= \frac{(I_{12}C_{21} - I_{22}C_{11})}{(I_{22}I_{11} - I_{12}^2)}, d_{10} = \frac{(I_{12}\Gamma_{21} - I_{22}\Gamma_{11})}{(I_{22}I_{11} - I_{12}^2)}, F_{11}^P = \frac{(I_{12}f_{21}^P - I_{22}f_{11}^P)}{(I_{22}I_{11} - I_{12}^2)}, d_{11} = \frac{(I_{12}\Lambda_{12} - I_{22}\Lambda_{11})}{(I_{22}I_{11} - I_{12}^2)}, \\ d_{12} &= \frac{(I_{12}\Lambda_{22} - I_{22}\Lambda_{12})}{(I_{22}I_{11} - I_{12}^2)}, d_{13} = \frac{(I_{12}\Lambda_{23} - I_{22}\Lambda_{13})}{(I_{22}I_{11} - I_{12}^2)}, d_{14} = \frac{(I_{12}\Lambda_{24} - I_{22}\Lambda_{14})}{(I_{22}I_{11} - I_{12}^2)}, d_{15} = \frac{(I_{12}\Gamma_{22} - I_{22}\Gamma_{12})}{(I_{22}I_{11} - I_{12}^2)}, \end{aligned} \quad (۱-۱-۱)$$

$$\begin{aligned} \tilde{F}_{12}^P &= \frac{(I_{12}f_{22}^P - I_{22}f_{12}^P)}{(I_{22}I_{11} - I_{12}^2)}, \mu_{12} = \frac{(I_{12}C_{22} - I_{22}C_{12})}{(I_{22}I_{11} - I_{12}^2)}, q_{z1} = \frac{\tilde{q}_{z1}I_{22} - \tilde{q}_{z2}I_{12}}{(I_{22}I_{11} - I_{12}^2)}, \\ \tilde{F}_{11}^P &= F_{01}^P + F_{11}^P \cos(\Omega_1 t), \tilde{F}_{12}^P = F_{02}^P + F_{12}^P \cos(\Omega_1 t) \end{aligned}$$

$$\begin{aligned} \mu_{22} &= \frac{(I_{11}C_{22} - I_{22}C_{12})}{(I_{22}I_{11} - I_{12}^2)}, d_{20} = \frac{(I_{11}\Gamma_{22} - I_{22}\Gamma_{12})}{(I_{22}I_{11} - I_{12}^2)}, \tilde{F}_{21}^P = \frac{(I_{12}f_{22}^P - I_{22}f_{12}^P)}{(I_{22}I_{11} - I_{12}^2)}, d_{21} = \frac{(I_{11}\Lambda_{24} - I_{12}\Lambda_{14})}{(I_{22}I_{11} - I_{12}^2)}, \\ d_{22} &= \frac{(I_{11}\Lambda_{23} - I_{12}\Lambda_{13})}{(I_{22}I_{11} - I_{12}^2)}, d_{23} = \frac{(I_{11}\Lambda_{22} - I_{12}\Lambda_{12})}{(I_{22}I_{11} - I_{12}^2)}, d_{24} = \frac{(I_{11}\Lambda_{12} - I_{12}\Lambda_{11})}{(I_{22}I_{11} - I_{12}^2)}, d_{25} = \frac{(I_{11}\Gamma_{21} - I_{12}\Gamma_{11})}{(I_{22}I_{11} - I_{12}^2)}, \\ \tilde{F}_{22}^P &= \frac{(I_{11}f_{21}^P - I_{12}f_{11}^P)}{(I_{22}I_{11} - I_{12}^2)}, \mu_{21} = \frac{(I_{11}C_{21} - I_{12}C_{11})}{(I_{22}I_{11} - I_{12}^2)}, q_{z2} = \frac{\tilde{q}_{z2}I_{11} - \tilde{q}_{z1}I_{12}}{(I_{22}I_{11} - I_{12}^2)}, \\ \tilde{F}_{21}^P &= F_{03}^P + F_{21}^P \cos(\Omega_1 t), \tilde{F}_{22}^P = F_{04}^P + F_{22}^P \cos(\Omega_1 t) \end{aligned} \quad (۲-۱-۱)$$

$$\begin{aligned} C_{11} &= \int_0^1 \int_0^1 (E_{11N}L)(C_1^A + CR_1^A) \bar{\phi}_1 \bar{\psi}_1 L_x L_y d\bar{\xi} d\bar{\eta}, C_{12} = \int_0^1 \int_0^1 (E_{11N}L)(C_2^A + CR_2^A) \bar{\phi}_1 \bar{\psi}_1 L_x L_y d\bar{\xi} d\bar{\eta} \\ C_{21} &= \int_0^1 \int_0^1 (E_{11N}L)(C_1^A + CR_1^A) \bar{\phi}_2 \bar{\psi}_2 L_x L_y d\bar{\xi} d\bar{\eta}, C_{22} = \int_0^1 \int_0^1 (E_{11N}L)(C_2^A + CR_2^A) \bar{\phi}_2 \bar{\psi}_2 L_x L_y d\bar{\xi} d\bar{\eta} \end{aligned} \quad (۱-۲-۱)$$

$$\begin{aligned} I_{11} &= \int_0^1 \int_0^1 E_{11N} \left(\frac{H}{(L_x L_y)^{1/2}} \right) \bar{I}_0 - \frac{L}{(L_x L_y)^{1/2}} B(\bar{\eta}) \mu_p) J \bar{\phi}_1 \bar{\psi}_1 \bar{\phi}_1 \bar{\psi}_1 L_x L_y d\bar{\xi} d\bar{\eta} \\ I_{12} &= \int_0^1 \int_0^1 E_{11N} \left(\frac{H}{(L_x L_y)^{1/2}} \right) \bar{I}_0 - \frac{L}{(L_x L_y)^{1/2}} B(\bar{\eta}) \mu_p) J \bar{\phi}_1 \bar{\psi}_1 \bar{\phi}_2 \bar{\psi}_2 L_x L_y d\bar{\xi} d\bar{\eta} \\ I_{22} &= \int_0^1 \int_0^1 E_{11N} \left(\frac{H}{(L_x L_y)^{1/2}} \right) \bar{I}_0 - \frac{L}{(L_x L_y)^{1/2}} B(\bar{\eta}) \mu_p) J \bar{\phi}_2 \bar{\psi}_2 \bar{\phi}_2 \bar{\psi}_2 L_x L_y d\bar{\xi} d\bar{\eta} \end{aligned} \quad (۲-۲-۱)$$

$$\begin{aligned} \Gamma_{11} &= \int_0^1 \int_0^1 \left(\frac{E_{11N} H^4}{(L_x L_y)^{1/2}} \right) (L2_1^w + L3_1^w + L5_1^w + L7_1^w + L8_1^w + L9_1^w + L10_1^w + L11_1^w) + \\ (E_{11N}L)(P1_1^A + P2_1^A + P3_1^A + P4_1^A + PR_1^A) &\bar{\phi}_1 \bar{\psi}_1 L_x L_y d\bar{\xi} d\bar{\eta} \\ f_{11}^P &= \int_0^1 \int_0^1 \frac{E_{11N} H^2}{(L_x L_y)^{1/2}} (F1_1^{TP} + F2_1^{TP} + F3_1^{TP} + F4_1^{TP}) \bar{\phi}_1 \bar{\psi}_1 L_x L_y d\bar{\xi} d\bar{\eta} \end{aligned} \quad (۱-۳-۱)$$

$$\begin{aligned} \Gamma_{12} &= \int_0^1 \int_0^1 \left(\frac{E_{11N} H^4}{(L_x L_y)^{1/2}} \right) (L2_2^w + L3_2^w + L5_2^w + L7_2^w + L8_2^w + L9_2^w + L10_2^w + L11_2^w) + \\ (E_{11N}L)(P1_2^A + P2_2^A + P3_2^A + P4_2^A + PR_2^A) &\bar{\phi}_1 \bar{\psi}_1 L_x L_y d\bar{\xi} d\bar{\eta} \\ f_{12}^P &= \int_0^1 \int_0^1 \frac{E_{11N} H^2}{(L_x L_y)^{1/2}} (F1_2^{TP} + F2_2^{TP} + F3_2^{TP} + F4_2^{TP}) \bar{\phi}_1 \bar{\psi}_1 L_x L_y d\bar{\xi} d\bar{\eta} \end{aligned} \quad (۲-۳-۱)$$

$$\begin{aligned} \Lambda_{11} &= \int_0^1 \int_0^1 \left(\frac{E_{11N} H^2}{(L_x L_y)^{1/2}} \right) (NL8_{11}^w + S_{111} (NL18_{11}^{wu} + NL20_{11}^{wu} + NL23_{11}^{wu})) + \\ S_{211} (NL26_{11}^{ww} + NL29_{11}^{ww} + NL30_{11}^{ww} + NL34_{11}^{ww} + NL35_{11}^{ww} + NL38_{11}^{ww}) &\bar{\phi}_1 \bar{\psi}_1 L_x L_y d\bar{\xi} d\bar{\eta} \end{aligned} \quad (۳-۳-۱)$$

$$\Lambda_{22} = \int_0^1 \int_0^1 \left(\frac{E_{11N} H^2}{(L_x L_y)^{1/2}} \right) (NL7_{12}^w + NL8_{12}^w + NL9_{12}^w + NL12_{12}^w + S_{111}(NL13_1^{wu} + NL16_1^{wu} + NL17_1^{wu} + NL18_{12}^{wu} + NL19_1^{wu} + NL20_{12}^{wu} + NL21_1^{wu} + NL22_{12}^{wu} + NL23_{12}^{wu}) + (S_{112} + S_{121})(NL18_{11}^{wu} + NL20_{11}^{wu} + NL23_{11}^{wu}) + S_{211}(NL26_{12}^{wv} + NL27_{12}^{wv} + NL28_{12}^{wv} + NL29_{12}^{wv} + NL30_{12}^{wv} + NL31_{12}^{wv} + NL32_{12}^{wv} + NL33_{12}^{wv} + NL34_{12}^{wv} + NL35_{12}^{wv} + NL36_{12}^{wv} + NL37_{12}^{wv} + NL38_{12}^{wv}) + (S_{212} + S_{221})(NL26_{11}^{wv} + NL29_{11}^{wv} + NL30_{11}^{wv} + NL34_{11}^{wv} + NL35_{11}^{wv} + NL38_{11}^{wv})) \bar{\varphi}_2 \bar{\psi}_2 L_x L_y d\xi d\eta \quad (4-3-3)$$

$$NL18_{12}^{wu} + NL19_1^{wu} + NL20_{12}^{wu} + NL21_1^{wu} + NL22_{12}^{wu} + NL23_{12}^{wu}) + (S_{112} + S_{121})(NL18_{11}^{wu} + NL20_{11}^{wu} + NL23_{11}^{wu}) + S_{211}(NL26_{12}^{wv} + NL27_{12}^{wv} + NL28_{12}^{wv} + NL29_{12}^{wv} + NL30_{12}^{wv} + NL31_{12}^{wv} + NL32_{12}^{wv} + NL33_{12}^{wv} + NL34_{12}^{wv} + NL35_{12}^{wv} + NL36_{12}^{wv} + NL37_{12}^{wv} + NL38_{12}^{wv}) + (S_{212} + S_{221})(NL26_{11}^{wv} + NL29_{11}^{wv} + NL30_{11}^{wv} + NL34_{11}^{wv} + NL35_{11}^{wv} + NL38_{11}^{wv})) \bar{\varphi}_2 \bar{\psi}_2 L_x L_y d\xi d\eta \quad (4-3-3)$$

$$L2_1^w = \alpha_2 \phi_{1,\xi\xi} \psi_{1,\eta\eta}, L2_2^w = \alpha_2 \phi_{2,\xi\xi} \psi_{2,\eta\eta}, L3_1^w = \alpha_3 \phi_1 \psi_{1,\eta\eta\eta\eta}, L3_2^w = \alpha_3 \phi_2 \psi_{2,\eta\eta\eta\eta},$$

$$L5_1^w = \alpha_5 \phi_{1,\xi} \psi_{1,\eta\eta\eta}, L5_2^w = \alpha_5 \phi_{2,\xi} \psi_{2,\eta\eta\eta}, L7_1^w = \alpha_7 \phi_{1,\xi\xi} \psi_{1,\eta}, L7_2^w = \alpha_7 \phi_{2,\xi\xi} \psi_{2,\eta}, \quad (4-3-3)$$

$$L8_1^w = \alpha_8 \phi_{1,\xi} \psi_{1,\eta\eta}, L8_2^w = \alpha_8 \phi_{2,\xi} \psi_{2,\eta\eta}, L9_1^w = \alpha_9 \phi_{1,\xi\xi} \psi_{1,\eta}, L9_2^w = \alpha_9 \phi_{2,\xi\xi} \psi_{2,\eta},$$

$$L10_1^w = \alpha_{10} \phi_{1,\xi} \psi_{1,\eta}, L10_2^w = \alpha_{10} \phi_{2,\xi} \psi_{2,\eta}, L11_1^w = \alpha_{11} \phi_{1,\xi} \psi_{1,\eta}, L11_2^w = \alpha_{11} \phi_{2,\xi} \psi_{2,\eta}$$

$$F1_1^{TP} = f_1^{TP} \phi_{1,\xi\xi} \psi_1, F1_2^{TP} = f_1^{TP} \phi_{2,\xi\xi} \psi_2, F2_1^{TP} = f_2^{TP} \phi_{1,\xi} \psi_{1,\eta}, F2_2^{TP} = f_2^{TP} \phi_{2,\xi} \psi_{2,\eta}, F3_1^{TP} = f_3^{TP} \phi_{1,\xi} \psi_1,$$

$$F3_2^{TP} = f_3^{TP} \phi_{2,\xi} \psi_2, F4_1^{TP} = f_4^{TP} \phi_1 \psi_{1,\eta\eta}, F4_2^{TP} = f_4^{TP} \phi_2 \psi_{2,\eta\eta}, \quad (4-3-3)$$

$$P1_1^A = p_1^a B(\bar{\eta}) \phi_{1,\xi\xi} \psi_1, P1_2^A = p_1^a B(\bar{\eta}) \phi_{2,\xi\xi} \psi_2, P2_1^A = p_2^a B(\bar{\eta}) \phi_{1,\xi} \psi_{1,\eta}, P2_2^A = p_2^a B(\bar{\eta}) \phi_{2,\xi} \psi_{2,\eta},$$

$$P3_1^A = p_3^a B(\bar{\eta}) \phi_{1,\xi} \psi_1, P3_2^A = p_3^a B(\bar{\eta}) \phi_{2,\xi} \psi_2, P4_1^A = p_4^a B(\bar{\eta}) \phi_1 \psi_{1,\eta\eta}, P4_2^A = p_4^a B(\bar{\eta}) \phi_2 \psi_{2,\eta\eta}, \quad (4-3-3)$$

$$PR_1^A = p_r^a B(\bar{\eta}) w'_1(1), PR_2^A = p_r^a B(\bar{\eta}) w'_2(1)$$

$$C_1^A = B(\bar{\eta}) (c_1^a \phi_{1,\xi} \psi_1 + c_2^a \phi_1 \psi_{1,\eta}), C_2^A = B(\bar{\eta}) (c_1^a \phi_{2,\xi} \psi_2 + c_2^a \phi_2 \psi_{2,\eta}),$$

$$CR_1^A = c_r^a \ln(1-\eta) \dot{w}_1(1), CR_2^A = c_r^a \ln(1-\eta) \dot{w}_2(1)$$

پیوست ج

به منظور ارزیابی اثرات مدهای بالاتر معادلات صفحه برای سه مد استخراج گردید. بر همین اساس می‌توان (ξ, η, t) با بسط سه مد به

صورت زیر نوشت:

$$w_0(\xi, \eta, t) = w_1(t) \phi_1(\xi) \psi_1(\eta) + w_2(t) \phi_2(\xi) \psi_2(\eta) + w_3(t) \phi_1(\xi) \psi_3(\eta) \quad (ج-الف)$$

با جایگذاری رابطه‌ی (ج-الف) در معادله ۱۹-ج) و با کمک روش گلرکین معادلات حرکت سه درجه آزادی حاصل می‌شوند:

$$\ddot{w}_1 + \mu_{11} \dot{w}_1 + b_{10} w_1 + (B_{011}^P + B_{11}^P \cos(\Omega_1 t)) w_1 + b_{11} w_1^3 + b_{12} w_2^3 + b_{13} w_3^3 + b_{14} w_1^2 w_2 + b_{15} w_1 w_2^2 + b_{16} w_2^2 w_3 + b_{17} w_2 w_3^2 +$$

$$b_{18} w_1^2 w_3 + b_{19} w_1 w_3^2 + b_{110} w_1 w_2 w_3 + (b_{111} + B_{012}^P + B_{12}^P \cos(\Omega_1 t)) w_2 + (b_{112} + B_{013}^P + B_{13}^P \cos(\Omega_1 t)) w_3 + \mu_{12} \dot{w}_2 +$$

$$\mu_{13} \dot{w}_3 = q_1 \cos(\Omega_2 t + \tau_1)$$

$$\ddot{w}_2 + \mu_{22} \dot{w}_2 + b_{20} w_2 + (B_{022}^P + B_{22}^P \cos(\Omega_1 t)) w_2 + b_{21} w_1^3 + b_{22} w_2^3 + b_{23} w_3^3 + b_{24} w_1^2 w_2 + b_{25} w_1 w_2^2 + b_{26} w_2^2 w_3 + b_{27} w_2 w_3^2 +$$

$$b_{28} w_1^2 w_3 + b_{29} w_1 w_3^2 + b_{210} w_1 w_2 w_3 + (b_{211} + B_{021}^P + B_{21}^P \cos(\Omega_1 t)) w_1 + (b_{212} + B_{023}^P + B_{23}^P \cos(\Omega_1 t)) w_3 + \mu_{21} \dot{w}_1 +$$

$$\mu_{23} \dot{w}_3 = q_2 \cos(\Omega_2 t + \tau_1)$$

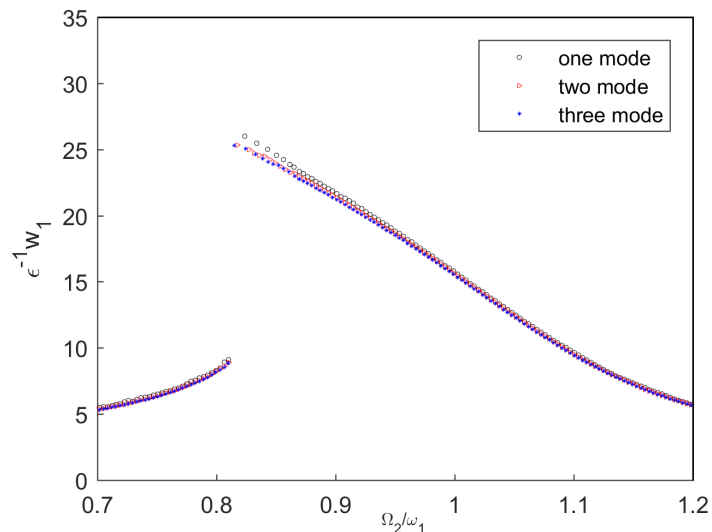
$$\ddot{w}_3 + \mu_{33} \dot{w}_3 + b_{30} w_3 + (B_{033}^P + B_{33}^P \cos(\Omega_1 t)) w_3 + b_{31} w_1^3 + b_{32} w_2^3 + b_{33} w_3^3 + b_{34} w_1^2 w_2 + b_{35} w_1 w_2^2 + b_{36} w_2^2 w_3 + b_{37} w_2 w_3^2 +$$

$$b_{38} w_1^2 w_3 + b_{39} w_1 w_3^2 + b_{310} w_1 w_2 w_3 + (b_{311} + B_{031}^P + B_{31}^P \cos(\Omega_1 t)) w_1 + (b_{312} + B_{032}^P + B_{32}^P \cos(\Omega_1 t)) w_2 + \mu_{31} \dot{w}_1 +$$

$$\mu_{32} \dot{w}_3 = q_3 \cos(\Omega_2 t + \tau_1)$$

(ج-ب)

منحنی پاسخ فرکانسی صفحه ذوزنقه‌ای با تقریب یک، دو و سه مد با کمک روش رانگ کوتا بررسی گردید همانطور که مشاهده می‌شود تا زمانیکه دامنه بی بعد $w_1^{-1} \epsilon$ کمتر از ۲۲ می‌باشد نمودار پاسخ فرکانسی با تقریب ۱-ج) دو و سه مد تقریباً بر هم منطبق می‌باشند ولی با افزایش دامنه مشاهده می‌شود نمودار پاسخ فرکانسی با تقریب یک مد رفتار نرم شوندگی کمتری از خود نشان می‌دهد. همچنین مشاهده می‌شود نمودارهای پاسخ فرکانسی با تقریب دو و سه مد همچنان با اختلاف کمی بر هم منطبق می‌باشند که نشان دهنده اثر کم مدهای بالاتر در پاسخ سیستم می‌باشد.



شکل ج-1 منحنی‌های پاسخ فرکانسی صفحه ذوزنقه‌ای به ازای تحلیل برای یک، دو و سه مد ارتعاشی

نمی‌توان نتیجه گرفت از آنجاییکه دامنه مدهای بالاتر در مقایسه با دامنه مد اول کوچکتر می‌باشند نتایج حاصل از بسط با دو مد قابل قبول می‌باشند.

